



01179  
2es  
1

DIVISION DE ESTUDIOS DE POSGRADO

FACULTAD DE INGENIERIA

DETERMINACION DE PSEUDOANOMALIAS MAGNETICAS DE  
CAMPO TOTAL A PARTIR DE LA RELACION DE POISSON

HERMES AGUIRRE VARGAS

T E S I S

Presentada a la División de Estudios de  
Posgrado de la

FACULTAD DE INGENIERIA  
de la

UNIVERSIDAD NACIONAL AUTONOMA DE MEXICO

como requisito para obtener el grado de

MAESTRO EN INGENIERIA  
(EXPLORACION DEL SUBSUELO)

CIUDAD UNIVERSITARIA

MEXICO

1988

TESIS CON  
FALLA DE ORIGEN



Universidad Nacional  
Autónoma de México



## **UNAM – Dirección General de Bibliotecas Tesis Digitales Restricciones de uso**

### **DERECHOS RESERVADOS © PROHIBIDA SU REPRODUCCIÓN TOTAL O PARCIAL**

Todo el material contenido en esta tesis está protegido por la Ley Federal del Derecho de Autor (LFDA) de los Estados Unidos Mexicanos (México).

El uso de imágenes, fragmentos de videos, y demás material que sea objeto de protección de los derechos de autor, será exclusivamente para fines educativos e informativos y deberá citar la fuente donde la obtuvo mencionando el autor o autores. Cualquier uso distinto como el lucro, reproducción, edición o modificación, será perseguido y sancionado por el respectivo titular de los Derechos de Autor.

RESUMEN

INTRODUCCION

## CAPITULO 1 FUNDAMENTOS DE LOS METODOS POTENCIALES

1.1. GENERALIDADES.....	1
1.2. PROPIEDADES DE LAS ROCAS.....	4
1.2.1. GRAVIMETRIA.....	4
1.2.1.1. FUENTES DE INFORMACION.....	5
1.2.2. MAGNETOMETRIA.....	6
1.2.2.1. FUENTES DE INFORMACION.....	7
1.2.2.2. TEMPERATURA CURIE Y PROPIEDADES MAGNETICAS.....	8

CAPITULO 2 SOLUCION AL PROBLEMA DE LA RELACION ENTRE LOS  
CAMPOS GRAVITACIONAL Y MAGNETICO

2.1. SOLUCION ANALITICAS	
2.1.1. GENERALIDADES.....	10
2.1.2. CONVOLUCION.....	12
2.1.3. OPERADORES.....	15
2.2. RELACION DE POISSON.....	16
2.3. CALCULO DEL CAMPO TOTAL.....	18

2.4. OBTENCION DEL OPERADOR.....	23
2.5. RELACIONES A PROGRAMAR.....	27

**CAPITULO 3 APLICACION EN MODELOS SINTETICOS**

3.1. LA ESFERA.....	28
3.2. EL PRISMA.....	30

**CAPITULO 4 APLICACION A UN CASO REAL**

4.1. LA CALDERA DE LOS HUMEROS	
4.1.1. LOCALIZACION.....	32
4.1.2. BOSQUEJO GEOLOGICO.....	33
4.1.3. ANTECEDENTES GEOFISICOS.....	34
4.1.4. ANOMALIA ESTUDIADA	
4.1.4.1. PERFIL GRAVIMETRICO.....	36
4.1.4.2. PERFIL MAGNETICO.....	36
4.1.5. OPERADORES Y PSEUDOANOMALIAS.....	37
4.1.6. INTERPRETACION.....	38

CONCLUSIONES

ANEXO 1

BIBLIOGRAFIA

## RESUMEN

El presente trabajo se desarrollo con la finalidad de proporcionar en forma explicita un método para el procesamiento e interpretación de los datos potenciales en la exploración geofísica.

Para tal fin en el capítulo 1 se estudian los fundamentos de los métodos gravimétrico y magnético, desde el punto de vista de las propiedades físicas de las rocas, que nos proporcionan el elemento fundamental para la obtención de una anomalía, analizando la obtención de la densidad y magnetización del cuerpo en estudio, así como las limitaciones que se pueden tener.

En el capítulo 2 se encuentra la expresión matemática que nos relaciona los dos potenciales para luego obtener la forma analítica del operador que nos proporciona la conversión de los datos gravimétricos en magnéticos.

Finalmente en los capítulos 3 y 4 se muestra la aplicación del método desarrollado, aplicado inicialmente (capítulo 3) a modelos sintéticos y luego (capítulo 4) a un caso real. En los dos capítulos se puede apreciar como los resultados nos colocan ante una herramienta útil en el procesado de datos geofísicos.

Palabras Claves: Pseudoanomalía, Convolución, Operador, Transformada de Fourier, Gravimetría, Magnetometría.

## INTRODUCCION

En el estudio de los métodos potenciales el problema de la modelación e interpretación ha sido tratado desde diferentes ángulos, para lo cual se han desarrollado diferentes métodos para el procesamiento de los datos de campo, con el fin de obtener el mayor acercamiento posible al problema físico real.

Una de las formas tratadas para el análisis de los datos ha sido el estudio combinado de los métodos gravimétrico y magnético en la obtención de pseudoanomalías, desarrollando expresiones que nos impliquen las propiedades físicas de las rocas; propiedades estas que hacen posible la observación de anomalías de campo. Estas expresiones matemáticas son tratadas de forma tal que pueden ser procesadas y analizadas, para aplicarlas como filtros a los datos de campo digitalizados.

Es importante tener en cuenta que el apoyo geológico-geofísico es de vital trascendencia en el procesado e interpretación de cualquier anomalía; ya que sin una clara visión de las características geológicas del área estudiada se tendran seguramente interpretaciones geofísicas erróneas.

## CAPITULO 1 FUNDAMENTOS DE LOS METODOS POTENCIALES

### 1.1: GENERALIDADES

Se ha demostrado que los fundamentos de algunos de los metodos geofisicos de exploración, exceptuando el sismico, son similares, en donde los efectos secundarios producidos por un cuerpo anomalo en un campo de fuerzas natural o artificial, pueden ser gravitacional, magnetico o electrico, dependiendo de un factor potencial; posteriormente, se determina la forma del cuerpo y su distancia al punto de observación. Actualmente, dos factores de potencia estan conjugados, el potencial gravitacional y el potencial dipolar magnetico; sin embargo una simple relación conecta los dos potenciales producidos por un cuerpo anomalo dado.

Se ha enfatizado el hecho de que la interpretación de anomalías en cualquiera de los campos potenciales sea fundamentalmente incapaz de dar una solución unica. Para una anomalía dada existen en realidad una infinidad de posibles soluciones.

Los métodos geofisicos magneticos y gravimétricos pueden ser analizados juntos como el grupo potencial en el que dichos metodos son dependen de la acción de un campo de fuerzas natural en donde se quiere observar las propiedades fisicas relativas a una estructura o estructuras geológicas que son de interés economico (en la geofisica de exploración).

Dependiendo del procedimiento, el potencial resultante, la componente del campo o el gradiente del campo pueden ser medidos. La limitación principal de los métodos geofísicos aplicados a la exploración provienen de las siguientes causas:

- a. La escasez de suficientes propiedades físicas contrastantes sobre el cuerpo o condiciones exploradas.
- b. El decrecimiento de la respuesta en relación a la distancia del cuerpo causante.
- c. Las frecuentes anomalías marcadas provenientes de las características de la superficie (ruido superficial).
- d. La incertidumbre en la interpretación de medición por la no ambigüedad de la información provista.

La geometría del cuerpo, profundidad, contraste de densidad y contraste de susceptibilidad, contribuyen al tamaño y forma de la anomalía.



Los factores geométricos son considerados en dos o en tres dimensiones, dependiendo de la forma y característica de la anomalía observada. Para tratar siempre problemas geológicos simples, se tienen que hacer aproximaciones. Los programas de computadora para modelar anomalías gravimétricas y magnéticas son de amplia difusión donde generalmente los contrastes de densidad y susceptibilidad deben ser conocidos o asumidos para los cálculos.

Para realizar esta modelación existen dos métodos: el directo y el inverso.

En el cálculo directo, la distribución de masa debe ser especificada. Este cálculo es único, solamente un anomalía de campo es causada por la distribución especificada [Talwani, 1965]. En el cálculo inverso, los datos de la anomalía son la entrada; la distribución de masa es la salida. Este cálculo no es único, mas de una distribución es matemáticamente posible; en ambos casos el modelo obtenido puede no ser geológicamente razonable. [Parker, 1957]

En el proceso de interpretación, el primer paso es un detallado análisis de los datos obtenidos por cada uno de los métodos aplicados. El segundo es una síntesis de los datos geofísicos y geológicos, donde los análisis geofísicos acentúan las posibilidades y descartan una suposición inconsistente. [Baranov, 1957]

## 1.2. PROPIEDADES DE LAS ROCAS

### 1.2.1. GRAVIMETRIA

En exploracion gravimetrica la propiedad fisica mas importante de las rocas es la densidad, la cual es una funcion del contenido mineral, porosidad y naturaleza de los fluidos en los espacios porosos. La profundidad de sepultamiento y la edad pueden ser tambien factores importantes, dependiendo del tipo de roca.

Los contrastes de densidad son la fuente de la anomalia gravimetrica, aunque un tipo de roca puede tener un considerable rango de densidad debido a su porosidad; tipicamente la densidad incrementa con la profundidad en cuencas sedimentarias.

En general la densidad total de una roca compleja es funcion de la densidad de la matriz de la roca, de la porosidad de la roca y de la densidad de los fluidos intersticiales en los espacios porosos. Estos factores estan relacionados con la expresion:

$$\rho_b = (1 - \epsilon) \rho_{ma} + \epsilon \rho_f$$

donde  $\rho_b$  es la densidad total,  $\rho_{ma}$  es la densidad de la matriz,  $\rho_f$  es la densidad del fluido, y  $\epsilon$  la porosidad. [Instituto Mexicano del Petroleo, 1976].

#### 1.2.1.1. FUENTES DE INFORMACION

Los principales métodos para obtener los valores de densidad se pueden resumir como:

- a. Perfiles gravimétricos sobre rasgos topográficos o batimétricos.
- b. Muestras de rocas de pozos o afloramientos.
- c. Registros de pozo Gamma-Gamma de penetración limitada y sensibles a la variación del diámetro del pozo.
- d. Gravímetros de pozo.
- e. Datos sísmicos

Estructuras sísmicas: Puede ser un excelente método, para obtener contrastes de densidad, sujetos a cambios de velocidad en las anomalías las cuales pueden ser resueltas en casos por interpretación gravimétrica.

Registros de velocidad: Las relaciones entre velocidad y densidad no son normalmente simples ya que las variaciones de las otras propiedades físicas de las rocas

pueden afectar la velocidad.

Las densidades son comunmente determinadas por una combinacion de correlacion gravimetria/topografia y gravimetria/sismica.

Dos métodos de correlación gravimetria sismica son usados:

a. La conversion de velocidades de apilamiento y,

b. La comparacion de anomalias gravimétricas con estructuras sismicas.

#### 1.2.2. MAGNETOMETRIA

En la exploracion magnetica, es posible estimar contrastes magneticos de la forma y relieve de las anomalias magneticas, al mismo tiempo con una estimacion de la profundidad de la cima del material magnetico.

### 1.2.2.1. FUENTE DE INFORMACION

Es bien sabido que la magnetita es el más común y magnético de los minerales, el cual contribuye a las propiedades magnéticas de las rocas. Al considerar que las propiedades magnéticas de las rocas están determinadas por las partículas de magnetita diseminada y una matriz no magnética, donde las partículas están separadas por algunas veces su diámetro.

Por extensión, las partículas individuales pueden ser aproximadas por un elipsoide, la magnetización  $I_i$  de una partícula simple estará determinada por el campo aplicado  $H_e$ , por la susceptibilidad del material  $k_o$ , y también, en un alto grado, por el factor de demagnetización  $\lambda$ , como lo muestra la relación:

$$I_i = \frac{k_o \cdot H_e}{1 + k_o \cdot \lambda}$$

Si la roca tiene un volumen  $P$  de magnetita, la magnetización total de la roca será:

$$I = P \cdot I_i$$

y la susceptibilidad efectiva,  $k$ , del total de la roca será:

$$k = P \cdot k' \quad \text{donde:} \quad k' = \frac{k_o}{1 + k_o \cdot \lambda}$$

Es evidente que si se conoce el porcentaje de magnetita en la roca se puede evaluar  $k'$  y calcular la susceptibilidad efectiva.

Un factor importante es la contribución de la magnetización remanente o permanente del total de la roca magnetizada. El factor geométrico, la demagnetización y el cálculo de magnetización a partir del contenido de magnetita, están relacionados únicamente con la parte inducida de la magnetización total. Algunos trabajos acerca de la magnetización remanente y sus causas indican que esta parte puede ser tan grande o mayor que la magnetización inducida. Si la magnetización remanente fue establecida al tiempo del enfriamiento de la roca, esta intensidad y dirección pudo ser controlada por la magnitud y dirección del campo terrestre al tiempo y lugar del enfriamiento, el cual puede ser o no similar al del tiempo y posición presente en las masas rocosas. Se asume normalmente que la componente de remanencia, en promedio, es del mismo orden de magnitud y más o menos en la misma dirección de la componente inducida. [Nettleton y Elkins, 1943]

#### 1.2.2.2. TEMPERATURA CURIE Y PROPIEDADES MAGNETICAS

Los minerales ferromagnéticos pierden su magnetización a temperaturas superiores a la conocida temperatura de Curie. Esta es una temperatura a la cual la energía térmica produce un distorsionamiento de los átomos, la cual llega a ser mayor que la energía interna de alineamiento. La temperatura Curie es significativa en la exploración, dado que las rocas no pueden ser magnéticas a

profundidades donde la temperatura es mayor al punto de Curie. Esto es también significativo en los estudios paleomagnéticos, porque explica cómo ciertas rocas han adquirido magnetización remanente.

El punto Curie de la magnetita es alrededor de  $475^{\circ}\text{C}$ , temperatura que puede ser esperada a profundidades del orden de 16-32 Kmts. Vacquier y Affeck [1941] hacen una evaluación estadística de la profundidad de las anomalías magnéticas y determinan que la base de las anomalías y la profundidad del punto de Curie está alrededor de 19 Kilómetros bajo la superficie.

Sin embargo, no se debe esperar que las características regionales gravimétricas amplias, que pueden ser producto de contrastes de densidad a profundidades mayores de 10 a 15 millas, tengan características magnéticas.

## CAPITULO 2 SOLUCION AL PROBLEMA DE LA RELACION ENTRE LOS CAMPOS GRAVITACIONAL Y MAGNETICO

### 2.1 SOLUCION ANALITICAS

#### 2.1.1 GENERALIDADES

Garland [1951] analiza datos gravimétricos y magnéticos a través de la relación de Poisson para estimar el valor de  $j/\Delta\rho$  de el cuerpo anómalo. Baranov [1957] desarrolla un método en el cual calcula un kernel que, aplicado al campo magnético total, determina la pseudoanomalía gravimétrica. Bott, et. al. [1966] aplican la teoría de Baranov para el caso, cuando la dirección de magnetización es diferente a la del campo terrestre, usando la teoría de variable compleja para deducir el rango de posible dirección de magnetización a a partir de la anomalía pseudogravimétrica calculada. Kanasevich y Agarwal [1970] obtienen la relación de intensidad de magnetización y densidad haciendo un análisis combinado de los datos gravimétricos y magnéticos en el número de onda, además de usar una prueba de coherencia para evaluar la autenticidad del valor calculado de  $j/\Delta\rho$  para cada número de onda.

Robinson [1971] describe, como, a través del cálculo de campos pseudomagnéticos, la interpretación de observaciones de los campos magnético y gravimétrico de un área pueden resaltarse. Así, si los



campos pseudomagnéticos son similares al campo magnético observado, pueden ser inferidas fuentes estructurales para ambas anomalías.

Shuey [1972] calcula la pseudoanomalía gravimétrica en el análisis de perfiles magnéticos por una combinación lineal del perfil y su transformada Hilbert, seguido por una integración a lo largo del perfil. Cordell y Talyor [1972] utilizan la relación de Poisson para obtener información adicional de las propiedades físicas del cuerpo anómalo, resolviendo por mínimos cuadrados un sistema lineal de ecuaciones para calcular la dirección total de magnetización y la relación mínima de Koenigsberger (Q).

Por otro lado, Chandler, et. al., [1981] utilizan el teorema en fuentes múltiples por la aplicación de ventanas para obtener la relación de magnetización/densidad.

Blakely y Simpson [1986] describen el procedimiento de Cordell y Grauch [1982,1985] para localizar límites de cuerpos magnéticos aplicando la transformada pseudogravimétrica de Baranov en el dominio de las frecuencias, obteniendo una anomalía de gravedad a partir de la anomalía magnética observada sobre una distribución de magnetización  $m(x,y,z)$ . Se obtiene una relación lineal de densidad  $\rho(x,y,z)=k.m(x,y,z)$ , donde k es una constante sobre la base de que cuerpos someros producen anomalías gravimétricas con gradientes

horizontales máximos ubicados cerca de los bordes.

### 2.1.2. CONVOLUCION

El método desarrollado en la sección 2.3 implica una operación de convolución de un operador que, aplicado en el dominio del espacio o de las frecuencias a la anomalía gravimétrica, nos proporciona la anomalía pseudomagnética. Por tanto se hace una descripción general del proceso de convolución y del diseño de los operadores.

En una dimensión, la convolución de dos funciones puede ser descrita como una operación que implica la reflexión de una función sobre su origen, luego, avanzando la función reflejada sobre la otra función en pasos discretos, para obtener el producto término a término y la sumatoria de dichas multiplicaciones, y así obtener el valor de la convolución en el punto. El proceso es repetido al avanzar un intervalo la función reflejada. La misma aproximación puede ser seguida para la convolución de funciones bidimensionales.

Matemáticamente, el proceso de convolución puede ser descrito por [Mesko,1984]:

Para el caso de una dimensión:

$$f_0(x) = f_1(x) * h(x) = \int_{-\infty}^{+\infty} f_1(\xi) h(\xi - x) d\xi$$

y para dos dimensiones:

$$f_0(x,y) = f_1(x,y) * h(x,y) = \int_{-\infty}^{+\infty} \int_{-\infty}^{+\infty} f_1(\xi, \eta) h(\xi - x, \eta - y) d\xi d\eta$$

donde  $f_1$ : es la función de entrada

$f_0$ : es la función de salida

$h$ : es la función del filtro

Debido a que la operación de filtrado se debe hacer en una dimensión finita, si  $f_0$  se hace cero para  $|x| \geq X$  y  $|y| \geq Y$  tenemos:  
para una dimensión:

$$f_0(x) = \int_{-X}^{+X} f_1(\xi) h(\xi - x) d\xi$$

y para dos dimensiones:

$$f_0(x,y) = \int_{-X}^{+X} \int_{-Y}^{+Y} f_1(\xi, \eta) h(\xi - x, \eta - y) d\xi d\eta$$

De acuerdo a la teoría de Fourier, la convolución en el dominio del espacio es equivalente a la multiplicación en el dominio de las frecuencias, por lo que tenemos para una dimensión:

$$F(f_x) = F_1(f_x)H(f_x)$$

y en dos dimensiones:

$$F_0(f_x, f_y) = F_1(f_x, f_y)H(f_x, f_y)$$

donde  $F_0$ : es la transformada de Fourier de  $f_0$

$F_1$ : es la transformada de Fourier de  $f_1$

$H$ : es la transformada de Fourier de  $h$

La transformada de Fourier conocida como respuesta en las frecuencias, está dada en una dimensión por:

$$F(f_x) = \int_{-X}^{+X} f(x)e^{-2\pi i x(f_x)} dx$$

y en dos dimensiones:

$$F(f_x, f_y) = \int_{-X}^{+X} \int_{-Y}^{+Y} f(x, y)e^{-2\pi i (x f_x + y f_y)} dy dx$$

Si se determina un espacio de muestreo, entonces  $f_x$ ,  $f_y$  están dadas en ciclos por intervalo de muestreo. Para datos muestreados, la integral de convolución en dos dimensiones está dada por:

$$f_o(x,y) = \sum_{k=-\frac{X}{\Delta x}}^{\frac{X}{\Delta x}} \sum_{n=-\frac{Y}{\Delta y}}^{\frac{Y}{\Delta y}} f(k\Delta x, n\Delta y) h(x-k\Delta x, y-n\Delta y) \Delta y \Delta x$$

En el calculo de la covolucion en en el espacio el numero de terminos de la función de salida está dada por la suma de términos de las funciones convolucionadas menos uno, debiendose tener en cuenta en la interpretación el efecto de borde, ya que los extremos se calculan con un numero mínimo de terminos.

Cuando se realiza la convolución en el dominio de las frecuencias es importante tener en cuenta la frecuencia de Nyquist como limite de frecuencia interpretativa, así como el corte de las funciones en los extremos que nos implica un error en la función de salida, así como la repetición que sufren las funciones en las frecuencias.

### 2.1.3. OPERADORES

Generalmente los operadores presentados por los diferentes autores

(Peters, Elkins, Rosenbach, etc), están representados por pesos radiales que se aplican a valores promedios alrededor de un círculo centrado en el punto que se desea procesar.

El operador aquí presentado se desarrolla analíticamente en el dominio del espacio; el cálculo en el dominio de las frecuencias se calcula a través de la transformada rápida de Fourier para analizar su espectro de amplitudes y características generales.

Para determinar el número óptimo de puntos del operador en el dominio del espacio, se prueban diferentes operadores para comprobar los resultados. Es importante tener en cuenta que, cuanto menor sea su dimensión, menor será el efecto de borde obtenido pero en igual forma y menos exacto, será el valor calculado en la convolución sin perder de vista la convergencia del operador. En el dominio de las frecuencias la longitud del operador estará determinada por la longitud de la anomalía gravimétrica.

## 2.2 RELACION DE POISSON

De acuerdo al análisis de Baranov [1957] tenemos:

El potencial gravimétrico como potencial newtoniano se define como:

$$U = -G \iiint \rho \frac{1}{r} dv$$

donde G es la constante universal de gravitación y  $\rho$  la densidad.

El potencial magnético se define como:

$$A = \iiint j \operatorname{grad} \left( \frac{1}{r} \right) dv$$

donde j es el vector de magnetización y cuya dirección es la misma en toda la masa magnetizada.

Calculando el producto escalar de la magnetización j por el gradiente del potencial gravimétrico, tenemos:

$$j \operatorname{grad} U = G \Delta A$$

seleccionada una densidad convencional y calculando:

$$G \Delta = | j |$$

y haciendo  $t_0$  el vector unitario que representa la dirección de j, se obtiene:

$$t_0 \operatorname{grad} U = \frac{dU}{dt_0} = \Lambda \quad (2.2.1)$$

lo cual representa que el potencial magnetico es la derivada oblicua del potencial pseudogravimetrico en la direccion de magnetizacion.

### 2.3. CALCULO DEL CAMPO TOTAL

Desarrollando el potencial gravitacional que hace Grant y West [1964] tenemos:

El teorema de Green establece que, si  $U$  y  $W$  son dos funciones continuas en un volumen  $V$  con primera y segunda derivadas continuas e integrables, entonces:

$$\int_V (U \nabla^2 W - W \nabla^2 U) d^3 r_0 = \int_S n (U \nabla W - W \nabla U) d^2 r_0 \quad (2.3.1)$$

donde  $s$  es la superficie que encierra el volumen. Las restricciones de  $U$  y  $W$  se satisfacen si hacemos  $U$  como el potencial gravitacional producido por la masas del volumen  $V$  y sea  $W$  la funcion  $1/|r-r_0|=1/R$ , donde  $r$  es la posicion del vector de un punto  $P$  exterior a  $V$  y  $r_0$  la posicion del vector de un punto  $Q$  dentro de  $V$ .

En cualquier punto fuera de  $V$ :



$$U_p(r) = -G \int_V \frac{\rho(r_o)}{|r-r_o|} d^3r_o \quad (2.3.2)$$

Utilizando el laplaciano ( $\nabla^2 U=0$ ) del campo gravitacional para el cálculo dentro de  $V$ , se obtiene una singularidad cuando  $r=r_o$ . Para aislar esta singularidad, ésta se supone dentro de una pequeña esfera de radio  $\epsilon$  muy pequeño y volumen  $v$ . El potencial se puede escribir cómo:

$$U(r) = -G \int_{V-v} \frac{\rho(r_o)}{|r-r_o|} d^3r_o - G \int_v \frac{\rho(r_o)}{|r-r_o|} d^3r_o$$

el primer término es no singular, en el segundo caso haciendo  $\epsilon$  muy pequeño y  $\rho(r_o)$  constante se tiene:

$$\nabla^2 U(r_o) = -G\rho(r_o) \int_v \nabla \nabla \frac{1}{|r-r_o|} d^3r_o$$

y de acuerdo al teorema de Gauss:

$$\nabla^2 U(r_o) = -G\rho(r_o) \int_s n \nabla \frac{1}{|r-r_o|} d^2r_o$$

ahora  $s$  es la superficie de una esfera muy pequeña cuyo radio es  $\epsilon$ , y se hace  $|r-r_o| = \epsilon$  y  $n \nabla = \partial/\partial\epsilon$  en el limite cuando  $\epsilon \rightarrow 0$

$$\nabla^2 U(r_o) = -G\rho(r_o) \left[ \frac{d}{d\epsilon} \frac{1}{\epsilon} \right] 4\pi\epsilon^2 \quad (2.3.3)$$

$$\nabla^2 U(r_0) = 4\pi G \rho(r_0)$$

con (2.3.2) y (2.3.3) se tiene que:

$$U(r) = -\frac{1}{4\pi} \int_V \frac{\nabla^2 U(r_0)}{|r-r_0|} d^3 r_0 \quad (2.3.4)$$

Con P fuera de V,  $\nabla^2 W = 0$  en todo punto.

De (2.3.1) y (2.3.4) se tiene que:

$$-\int_V \frac{\nabla^2 U(r_0)}{|r-r_0|} d^3 r_0 = 4\pi U(r)$$

asi que:

$$U(r) = \frac{1}{4\pi} \int_S \left[ U \frac{\partial}{\partial n} \left( \frac{1}{R} \right) - \frac{1}{R} \left( \frac{\partial U}{\partial n} \right) \right] d^2 r_0 \quad (2.3.5)$$

Si se asume que todas las masas están sobre una region finita de un espacio medio  $z > 0$ , dejando S como un gran hemisferio en  $z > 0$  cerrado para el plano  $z=0$ , y si el radio se hace lo suficientemente grande, la integral en (6) desaparece para todo lugar  $R^{-3}$  sobre la curvatura de la superficie S, y la integral se reduce a:

$$U(r) = \frac{1}{4\pi} \int_{-w}^{+w} \int \left[ -U \frac{\partial}{\partial z'} \left( \frac{1}{R} \right) + \frac{1}{R} \left( \frac{\partial U}{\partial z'} \right) \right]_{z'=0} dx' dy' \quad (2.3.6)$$

para  $z \leq 0$  y donde  $R = \sqrt{(x-x')^2 + (y-y')^2 + (z-z')^2}$

Por otro lado, dado que no hay masa para  $z < 0$ ,  $\nabla^2 U = 0$  en toda esta región. Se coloca P en  $(x, y, -z)$  y cerrando S arriba de  $z=0$  se halla en (2.3.5):

$$0 = \frac{1}{4\pi} \int_{-\infty}^{+\infty} \int_{-\infty}^{+\infty} \left[ u \frac{\partial}{\partial z} \left( \frac{1}{R} \right) + \frac{1}{R} \left( \frac{\partial U}{\partial z'} \right) \right]_{z'=0} dx' dy' \quad (2.3.7)$$

sumando (2.3.6) y (2.3.7)

$$U(r) = \frac{1}{2\pi} \int_{-\infty}^{+\infty} \int_{-\infty}^{+\infty} \left( \frac{1}{R} \frac{\partial U}{\partial z'} \right)_{z'=0} dx' dy'$$

siendo U el potencial gravitacional debido a la masa localizada en  $z > 0$  se puede hacer:

$$-\frac{\partial U}{\partial z} = \Delta g$$

y asimismo para  $z \leq 0$ :

$$-U(r) = -\frac{1}{2\pi} \int_{-\infty}^{+\infty} \int_{-\infty}^{+\infty} \frac{\Delta g(x', y')}{R} dx' dy' \quad (2.3.8)$$

Regresando a (2.2.1):

$$A(r) = \frac{dU}{dt_0}$$

y en general para G y  $\rho$ :

$$A(r) = \frac{j}{G \rho} \frac{\partial U(r)}{\partial t_0}$$

Sabiendo que la anomalía de campo total  $T(r)$  en función del potencial magnético se puede expresar como:

$$T(r) = - \frac{\partial \Lambda(r)}{\partial r} = \frac{J}{G \rho} \frac{\partial^2 U(r)}{\partial t_0 \partial r}$$

Puesto que las primeras derivadas del potencial de la fuerza de atracción son aceleración, de dimensiones  $LT^{-2}$ , las dimensiones de las segundas derivadas serán  $T^{-2}$ . Las dimensiones de  $G$  son de  $L^3M^{-1}T^{-2}$  y las de  $\rho$  de  $ML^{-3}$ , por lo tanto  $G\rho$  tendrá unidades de  $T^{-2}$ . Finalmente las unidades de  $T(r)$  corresponderán a las unidades de la magnetización  $j$ .

Con (2.3.8) se tiene:

$$T(r) = \frac{J}{2\pi G\rho} \int_{-\omega}^{+\omega} \int \Delta g(x', y', 0) \frac{\partial^2 (1/R)}{\partial t_0 \partial r} dx' dy' \quad (2.3.9)$$

con lo cual se puede calcular la anomalía de campo total por la convolución de la anomalía gravimétrica y el operador que será en este caso la doble derivada direccional en el sentido de las magnetizaciones remanente ( $j$ ) e inducida ( $t_0$ ) del inverso de la distancia.

## 2.4 OBTENCION DEL OPERADOR

De acuerdo a las condiciones del cuerpo, el operador tendra una forma analitica determinada. A partir de (2.3.9) se obtienen cuatro casos variando las direcciones de remanencia y de induccion (direcciones que se muestran en la figura 1); el ultimo de dichos casos es la forma general, con detalles matematicos. Anexo 1.

### Primer caso:

Considerando la declinacion (De) igual a cero, las direcciones de magnetizacion remanente e inducida ( $t_o, \zeta$ ) iguales, la inclinacion (In) diferente de cero y sobre el plano x-z, se tiene:

$$\frac{\partial}{\partial t_o} = \cos(\text{In}) \frac{\partial}{\partial x} + \text{sen}(\text{In}) \frac{\partial}{\partial z}$$

$$\begin{aligned} \frac{\partial}{\partial t_o} \left[ \frac{1}{R} \right] &= \cos(\text{In}) \frac{-(x-x')}{[(x-x')^2 + (z-z')^2]^{3/2}} \\ &+ \text{sen}(\text{In}) \frac{-(z-z')}{[(x-x')^2 + (z-z')^2]^{3/2}} \end{aligned}$$

y:

$$\frac{\partial^2}{\partial^2 t_o} \left[ \frac{1}{R} \right] = \frac{3}{R^5} \left[ (x-x')\cos(\text{In}) + (z-z')\text{sen}(\text{In}) \right]^2 - \frac{1}{R^3}$$

Para un campo magnetico constante  $H$  representamos la magnetizacion como:

$$j = jr_o = kHt_o + j_n \zeta = j_z + j_n$$

Donde:

$k$  : Suceptibilidad magnetica

$H$  : Intensidad del campo inducido (terrestre) en la direccion del vector unitario  $t_o$

$j_n$  : Intensidad de la magnetizacion remanente natural en la direccion del vector unitario  $\zeta$ , y,

$j$  : Intensidad de la magnetizacion total en la direccion del vector unitario  $r_o$ .

Los cosenos directores de los vectores unitarios obtenidos de los angulos azimutales inducido ( $In, De$ ) y remanente ( $\theta, \sigma$ ) son:

$$t_{01} = \text{Cos}(In)\text{Cos}(De)$$

$$t_{02} = \text{Cos}(In)\text{Sen}(De)$$

$$t_{03} = \text{Sen}(In)$$

$$\zeta_{01} = \text{Cos}(\theta)\text{Cos}(\sigma)$$

$$\zeta_{02} = \text{Cos}(\theta)\text{Sen}(\sigma)$$

$$\zeta_{03} = \text{Sen}(\theta)$$

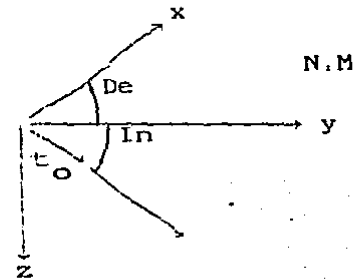
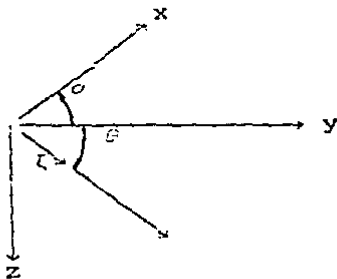


Fig. 1

Segundo caso:

Se considera  $t_0 = [ \quad , In, De ]$  diferentes de cero y sobre los planos x-y-z:

$$\frac{\partial}{\partial t_0} = \cos(In)\cos(De) \frac{\partial}{\partial x} + \cos(In)\sin(De) \frac{\partial}{\partial y} + \sin(In) \frac{\partial}{\partial z}$$

$$\begin{aligned} \frac{\partial}{\partial t_0} \left[ \frac{1}{R} \right] &= \cos(In)\cos(De) \frac{-(x-x')}{[(x-x')^2 + (y-y')^2 + (z-z')^2]^{3/2}} \\ &+ \cos(In)\sin(De) \frac{-(y-y')}{[(x-x')^2 + (y-y')^2 + (z-z')^2]^{3/2}} \\ &+ \sin(In) \frac{-(z-z')}{[(x-x')^2 + (y-y')^2 + (z-z')^2]^{3/2}} \end{aligned}$$

y:

$$\frac{\partial^2}{\partial t_0^2} \left[ \frac{1}{R} \right] = \frac{3}{R^5} \left[ (x-x')\cos(In)\cos(De) + (z-z')\sin(In) \right]^2$$

$$(y-y')\cos(In)\sin(De) \left[ 2(x-x')\cos(In)\cos(De) \right]$$

$$+ (y-y')\cos(In)\sin(De) + 2(z-z')\sin(In) \left] - \frac{1}{R^3}$$

Tercer caso:

Se considera  $t_0 = 0$ ,  $x$  y  $z$  iguales a cero, y sobre el plano  $x-z$ .

$$\frac{\partial}{\partial t} = \cos(\ln) \frac{\partial}{\partial x} + \sin(\ln) \frac{\partial}{\partial z}$$

$$\frac{\partial}{\partial t_0} \left[ \frac{1}{R} \right] = \cos(\ln) \frac{-(x-x')}{[(x-x')^2 + (z-z')^2]^{3/2}} + \sin(\ln) \frac{-(z-z')}{[(x-x')^2 + (z-z')^2]^{3/2}}$$

y:

$$\frac{\partial}{\partial t_0} \frac{\partial}{\partial x'} \left[ \frac{1}{R} \right] = \frac{3}{R^5} \left[ (x-x')(z-z') \sin(\ln + \theta) + (x-x')^2 \cos(\theta) \cos(\ln) + (z-z')^2 \sin(\theta) \sin(\ln) \right] - \frac{1}{R^3} \cos(\ln - \theta)$$



Cuarto caso:

Se considera  $t_0$  diferente de  $\zeta$  y sobre los planos  $x-y-z$  (caso general):

$$\frac{\partial}{\partial t_0} = \cos(\text{In})\cos(\text{De}) \frac{\partial}{\partial x} + \cos(\text{In})\text{sen}(\text{De}) \frac{\partial}{\partial y} + \text{sen}(\text{In}) \frac{\partial}{\partial z}$$

$$\frac{\partial}{\partial t_0} \left[ \frac{1}{R} \right] = \cos(\text{In})\cos(\text{De}) \frac{-(x-x')}{R^3} - \cos(\text{In})\text{sen}(\text{De}) \frac{-(y-y')}{R^3} - \text{sen}(\text{In}) \frac{-(z-z')}{R^3}$$

y:

$$\begin{aligned} \frac{\partial^2}{\partial t_0 \partial \zeta} \left[ \frac{1}{R} \right] &= \frac{3}{R^5} \left[ (x-x')(y-y')\cos(\text{In})\cos(\theta)\text{sen}(\sigma) \left[ \text{sen}(\text{De})+\cos(\text{De}) \right] \right. \\ &+ (x-x')(z-z') \left[ \text{sen}(\text{In})\cos(\theta)\cos(\sigma)+\cos(\text{In})\cos(\text{De})\text{sen}(\theta) \right] \\ &+ (y-y')(z-z') \left[ \text{sen}(\text{In})\cos(\theta)\text{sen}(\sigma)+\cos(\text{In})\text{sen}(\text{De})\text{sen}(\theta) \right] \\ &+ (x-x')^2\cos(\text{In})\cos(\text{De})\cos(\theta)\cos(\sigma) + (z-z')^2\text{sen}(\text{In})\text{sen}(\theta) \\ &\left. + (y-y')^2\cos(\text{In})\text{sen}(\text{De})\cos(\theta)\text{sen}(\sigma) \right] \\ &- \frac{1}{R^3} \left[ \cos(\text{In})\cos(\text{De})\cos(\theta)\cos(\sigma)+\cos(\text{In})\text{sen}(\text{De})\cos(\theta)\text{sen}(\sigma)+\text{sen}(\text{In})\text{sen}(\theta) \right] \end{aligned}$$

## 2.5 RELACIONES A PROGRAMAR

Siguiendo la Ec.(2.3.9) para obtener la pseudoanomalía magnética de campo total, debemos tener por un lado, los datos equiespaciados de la anomalía gravimétrica y por otro, los valores del operador igualmente equiespaciados para aplicar la convolución descrita en la secc. 2.1.2., en el dominio del espacio o en el dominio de las frecuencias. La relación  $j/\rho$  se determina de acuerdo al resultado de cálculos teóricos, a partir de la composición de los minerales; si por otro lado se determinan las anomalías gravimétrica y magnética y se determina la relación, se tiene una buena posibilidad de eliminar ciertos tipos de rocas y sugerir los más probables tipos de dichas rocas.

Para la aplicación del método a un modelo sintético, se calcula el valor de la anomalía gravimétrica y, de acuerdo a las condiciones del cuerpo, se determinan los valores del operador, como se muestra en la secc.2.4. Si se desea calcular la pseudoanomalía en el espacio se procede a aplicar el programa que realiza la convolución; si por lo contrario se desea calcular la pseudoanomalía en las frecuencias debe aplicarse la transformada de Fourier, para el caso de modelos bidimensionales; o la doble transformada de Fourier, para tridimensionales, tanto a los datos gravimétricos como al operador, para, ya en el dominio de las frecuencias realizar el producto término a término; posteriormente se realiza la transformación inversa y el desdoblamiento de los datos obtenidos.

Las expresiones a programar serán los datos de la anomalía gravimétrica y del operador, para el caso de modelos, o del operador en el caso real. Los programas aplicados en el dominio del espacio serán subrutinas de convolución y graficación en las frecuencias subrutinas de transformada de Fourier, de desdoblamiento y de graficación.

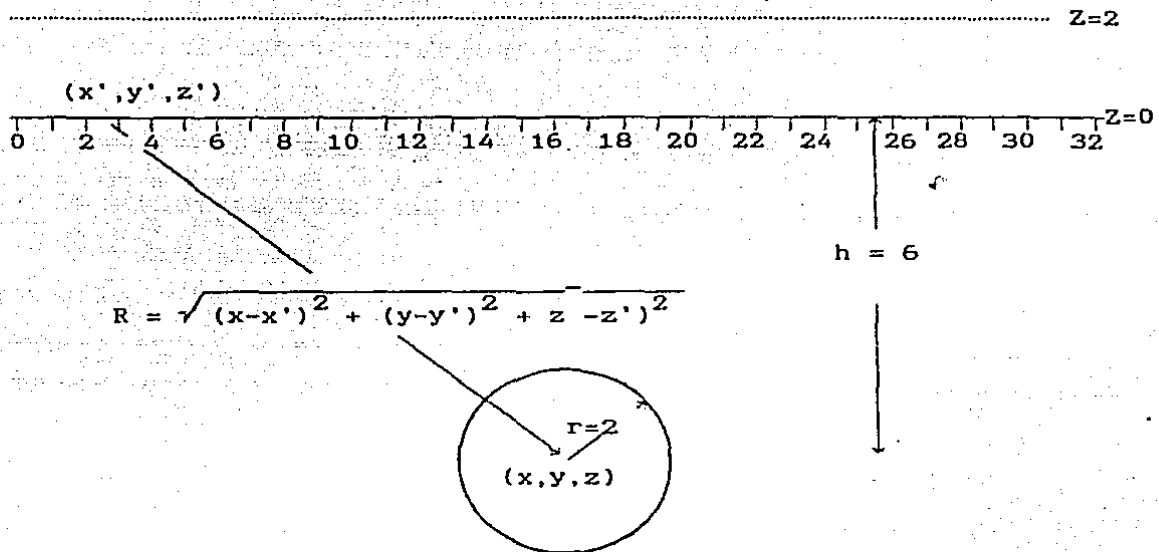
### CAPITULO 3 APLICACION EN MODELOS SINTETICOS

#### 3.1. LA ESFERA

En la figura 2 se muestran las características del modelo en consideración. Para hacer un análisis detallado en la aplicación del método, se realiza el proceso de convolución tanto en el espacio como en las frecuencias. En la tabla 1 se especifican cada uno de los modelos considerados, variando la inclinación y con un valor de  $D_e=0^\circ$ . Se presentan los casos para 90 y 45 grados. En la figura 3 se muestra la anomalía gravimétrica; en la figura 4 la anomalía magnética con  $I_n=90^\circ$ ; la figura 5 muestra la gráfica del operador con una inclinación de 90 grados y una declinación de 0 grados. La figura 6 representa la pseudoanomalía magnética de campo total calculada por convolución en el dominio del espacio donde se puede apreciar el efecto de borde. La figura 7 representa la pseudoanomalía calculada por convolución en el dominio de las frecuencias. Las figuras 8,9,10 y

11 representan la anomalía magnética con una inclinación de 30 grados y declinación igual a cero, el operador para las mismas condiciones, la pseudoanomalía calculada por convolución en el espacio y la pseudoanomalía calculada por producto en las frecuencias; respectivamente. La figura 12 muestra la parte real de la transformada del operador con  $I_n=90^\circ$ , la figura 13 es el espectro de amplitud de dicho operador, su parte imaginaria es cero por lo que su espectro de fase será igual a cero. En las figuras 14 y 15 se pueden apreciar las partes reales e imaginarias del operador de  $30^\circ$ . En las figuras 16 y 17 se aprecian los espectros de amplitud y fase de dicho operador.

Igualmente se realizó el proceso para el modelo de la esfera con ángulos de inclinación de 60 y 45 grados. En todos los modelos se calcularon pseudoanomalías por convolución en el espacio con operadores de diferentes longitudes como se muestra en la tabla 1.



Parámetros:

Densidad ( $\rho$ ) = 1.0 gr/cm<sup>3</sup>

Suceptibilidad ( $k$ ) = 0.001 c.g.s

Intensidad del campo ( $H$ ) = 43250 gamma

Fig. 2

TABLA 1

	ESPACIO		FRECUENCIAS	
	In (De=0°)	No. Ptos.	TRANSFORMADA	ESPECTRO
ANOMALIA MAGNETICA	90	33		
	60	33		
	45	33		
	30	33		
ANOMALIA GRAVIMETRICA		33	PR. REAL PR. IMAGIN.	ESP. AMPLIT. ESP. FASE
OPERADOR	90	33	PR. REAL PR. IMAGIN.	ESP. AMPLIT. ESP. FASE.
		17 9 5		
	60	33	PR. REAL PR. IMAGIN.	ESP. AMPLIT. ESP. FASE
		17 9 5		
45	33	PR. REAL PR. IMAGIN.	ESP. AMPLIT. ESP. FASE	
	17 9 5			
30	33	PR. REAL PR. IMAGIN.	ESP. AMPLIT. ESP. FASE	

TABLA 1 (CONT.)

	ESPACIO		FRECUENCIAS
	In ( $De=0^{\circ}$ )	No. Ptos.	
CONVOLUCION EN EL ESPACIO	90	65 49 41 37	
	45	65 49 41 37	
	60	65 49 41 37	
	30	65	
PRODUCTO EN LAS FRECUENCIAS	90 60 45 30	32 32 32 32	

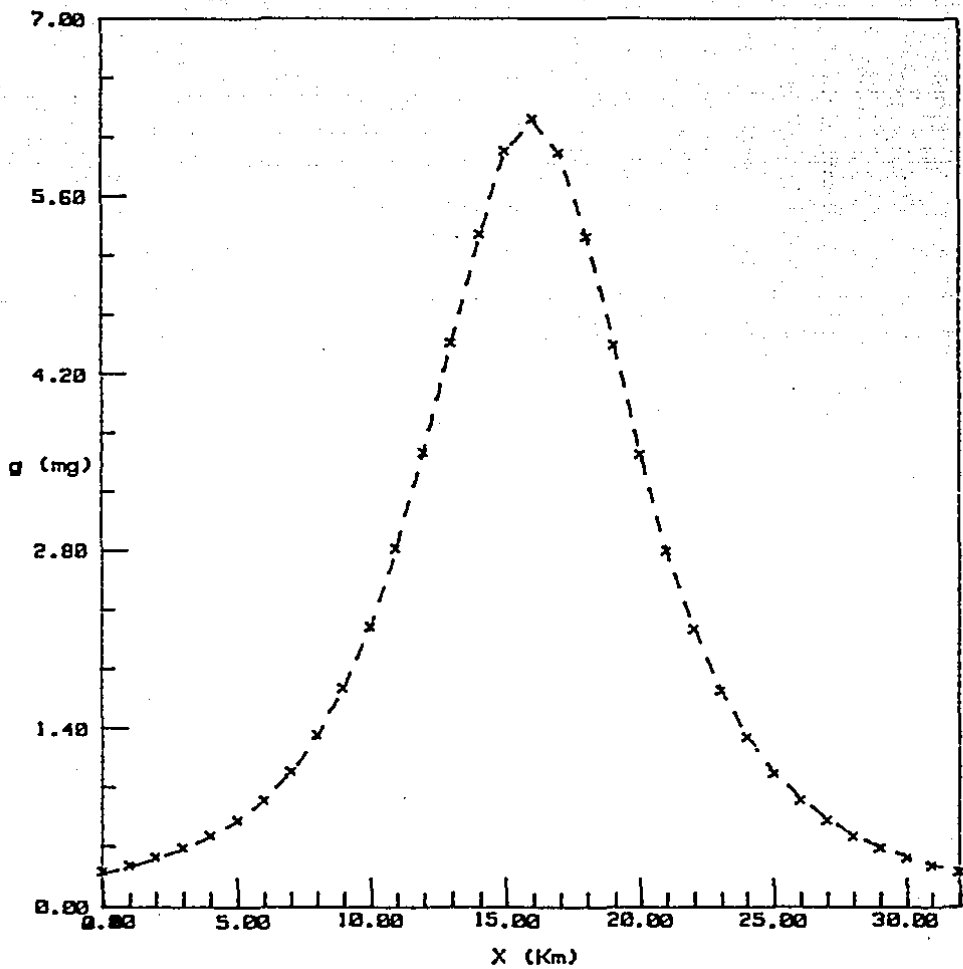


Fig.3 Anomalia Gravimetrica (33 ptos)



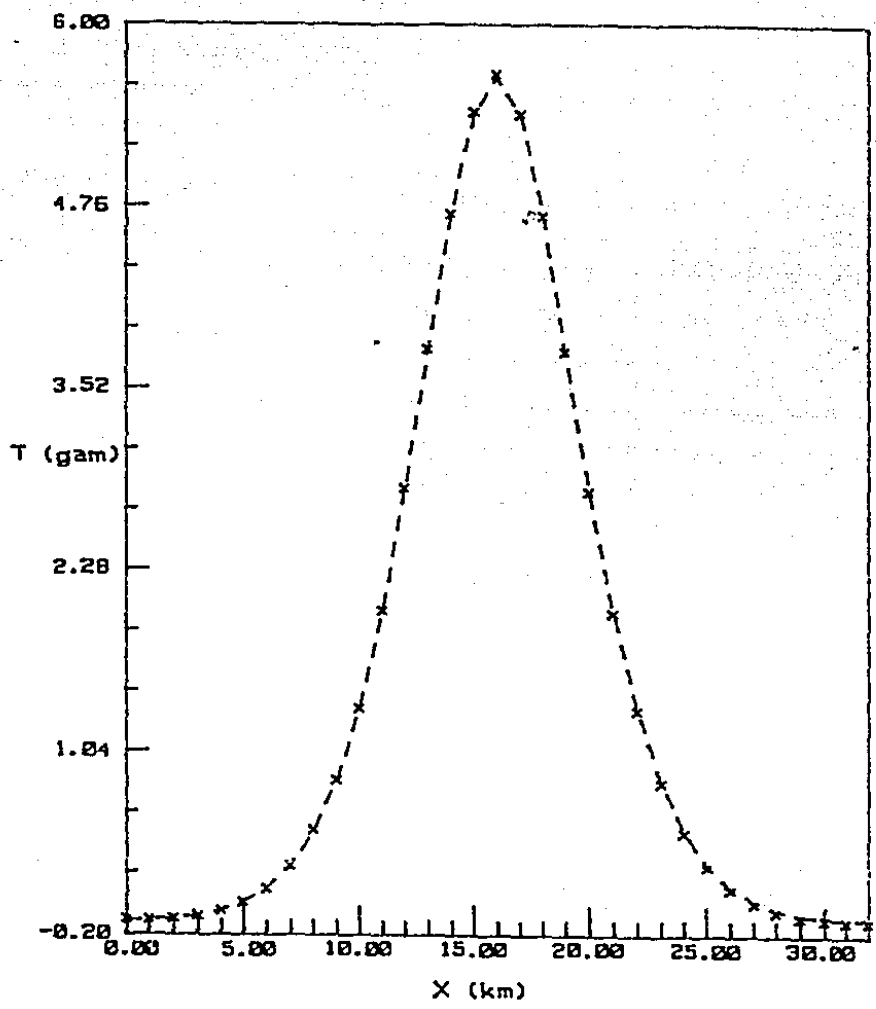


Fig.4 Anomalia Magnética I=90° (33 ptos)

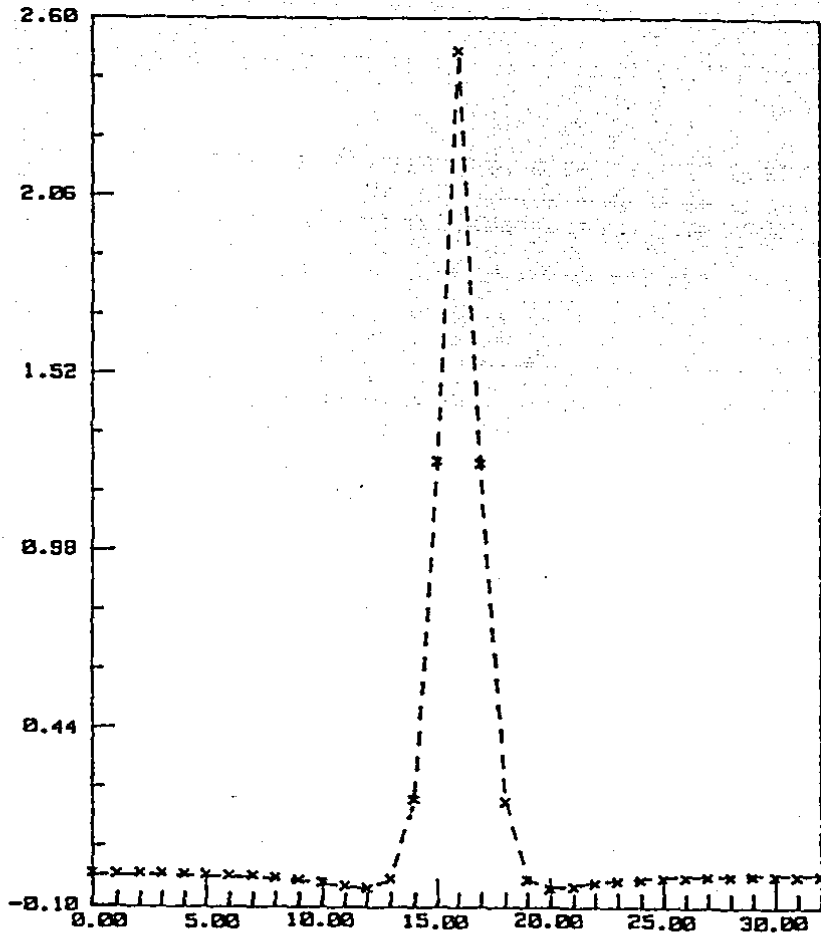


Fig.5 Operador1=90° (33 ptos)

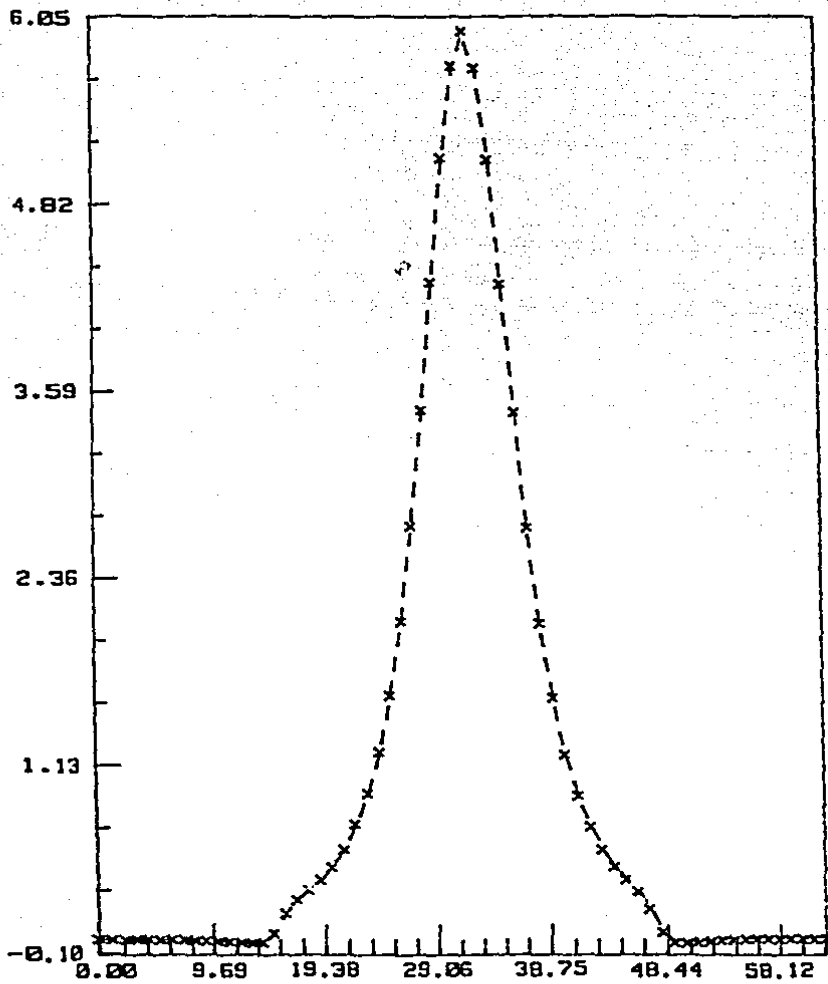


Fig.6 Pseudoanomalía Magnética a 90° por convolución  
 en el espacio (63 pts)

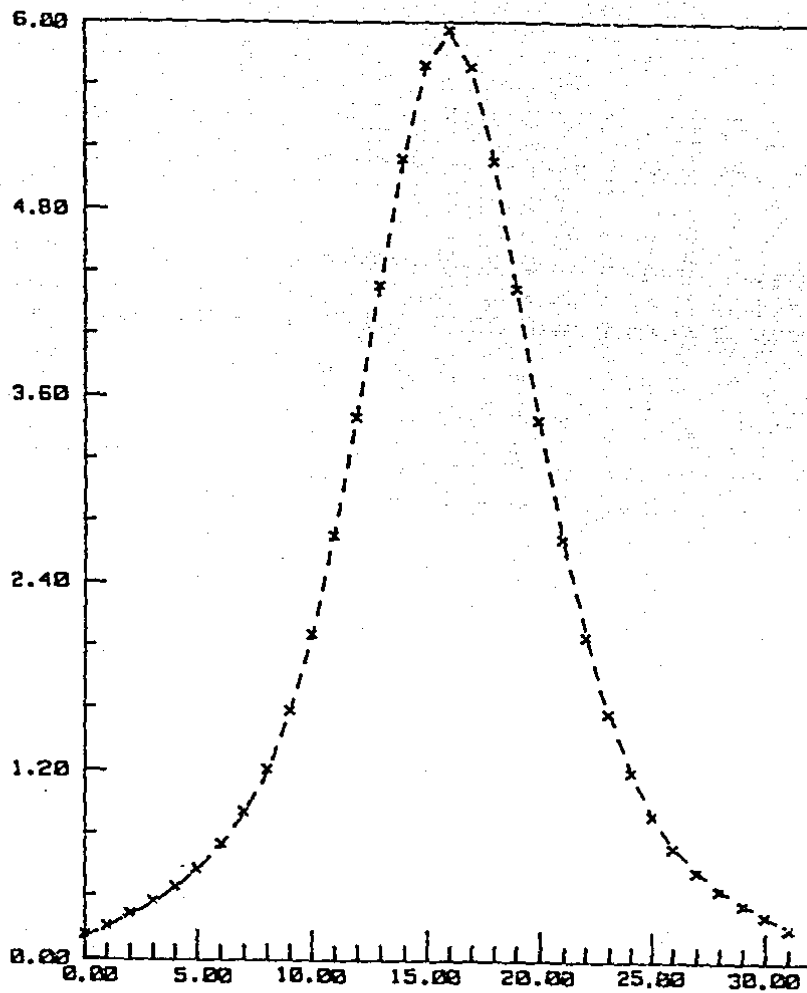


Fig.7 Pseudoanomalía magnética a 90° por producto en las frecuencia (32 ptos)

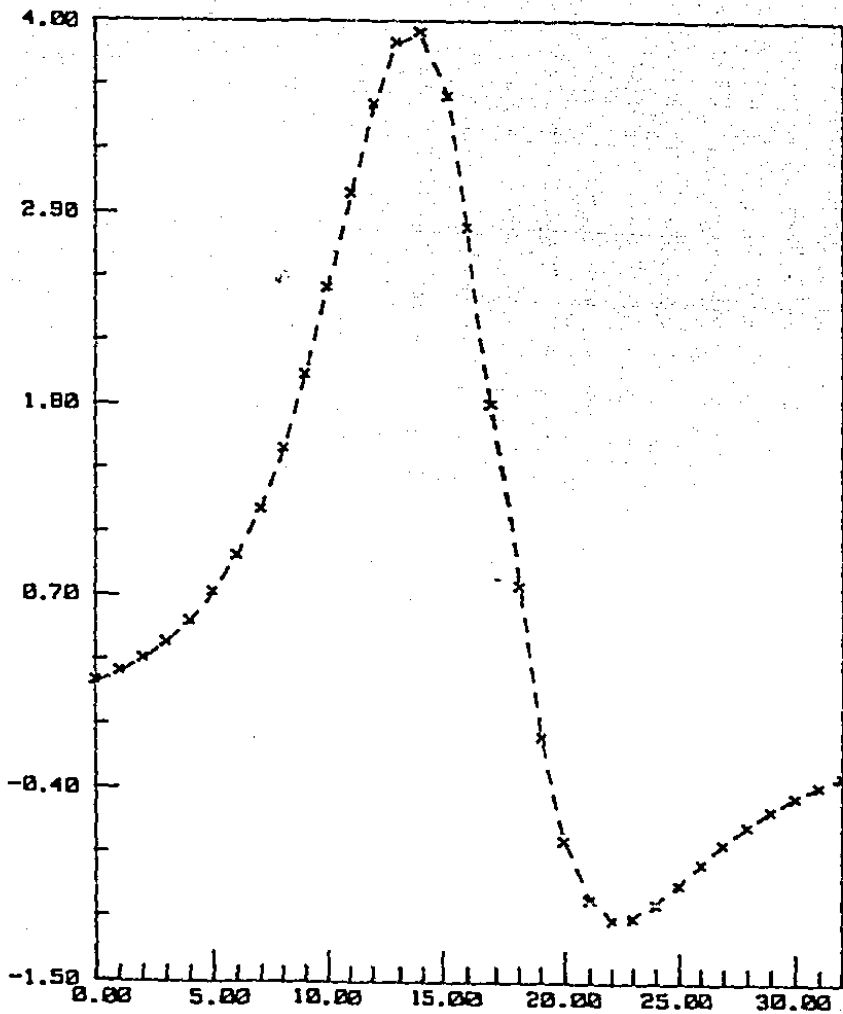


Fig.8 Anomalia Magnética I=30° (33 pts)

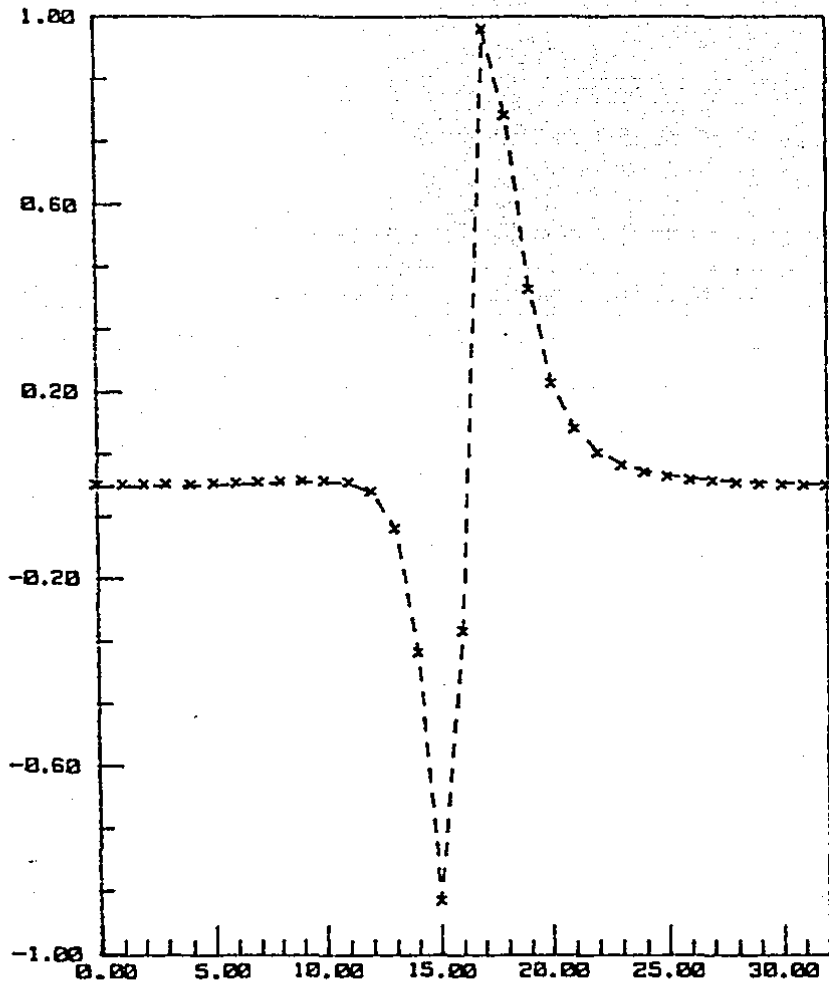


Fig.9 Operador 30° (33 ptos)

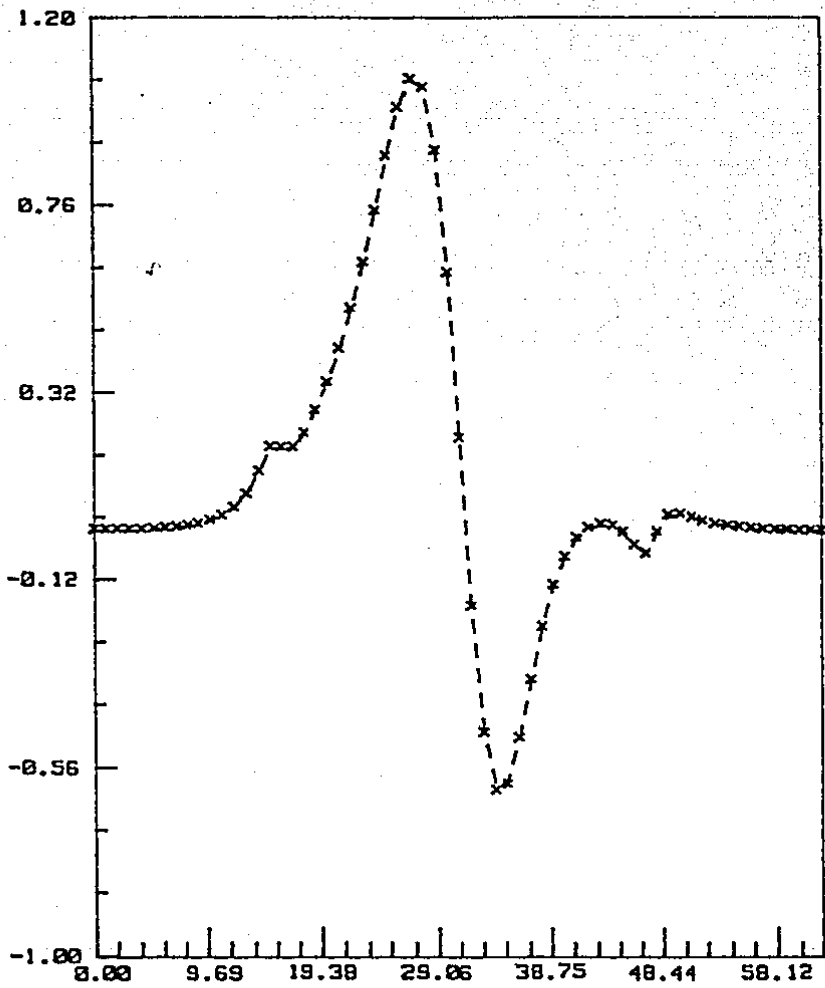


Fig.10 Pseudoanomalía Magnética por  
convolución en el espacio (63 pts)

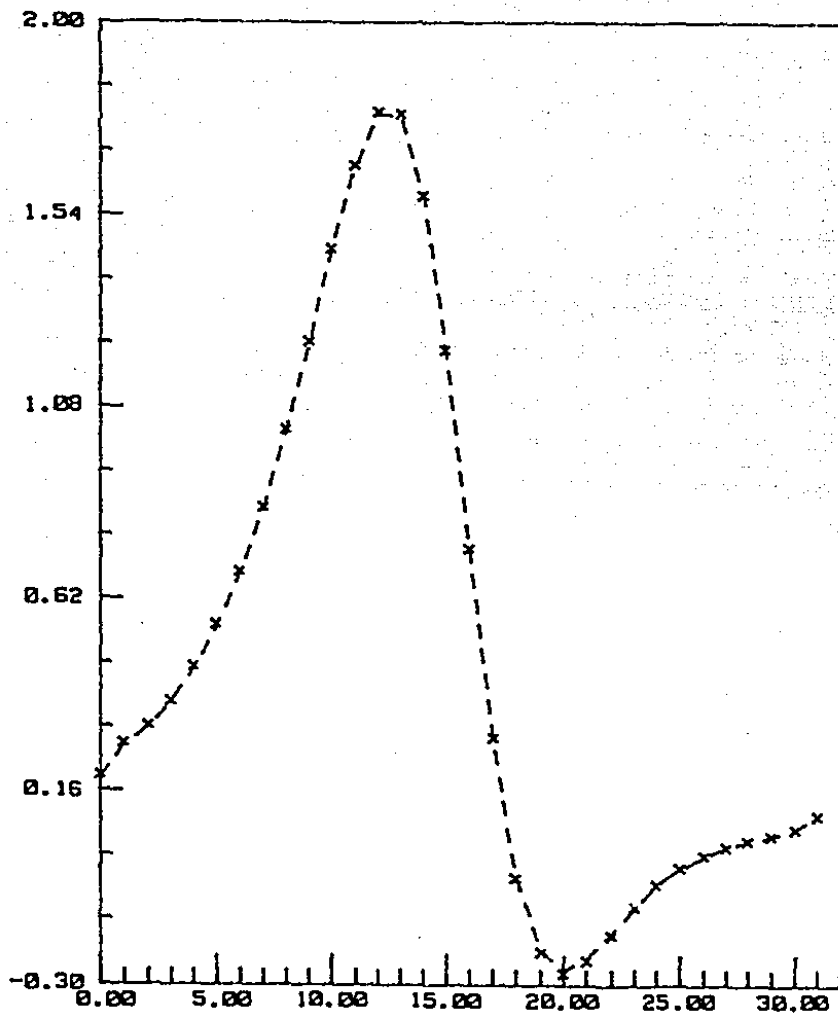


Fig.11 Pseudoanomalía Magnética a 30° por producto  
en las frecuencias (32 ptos)



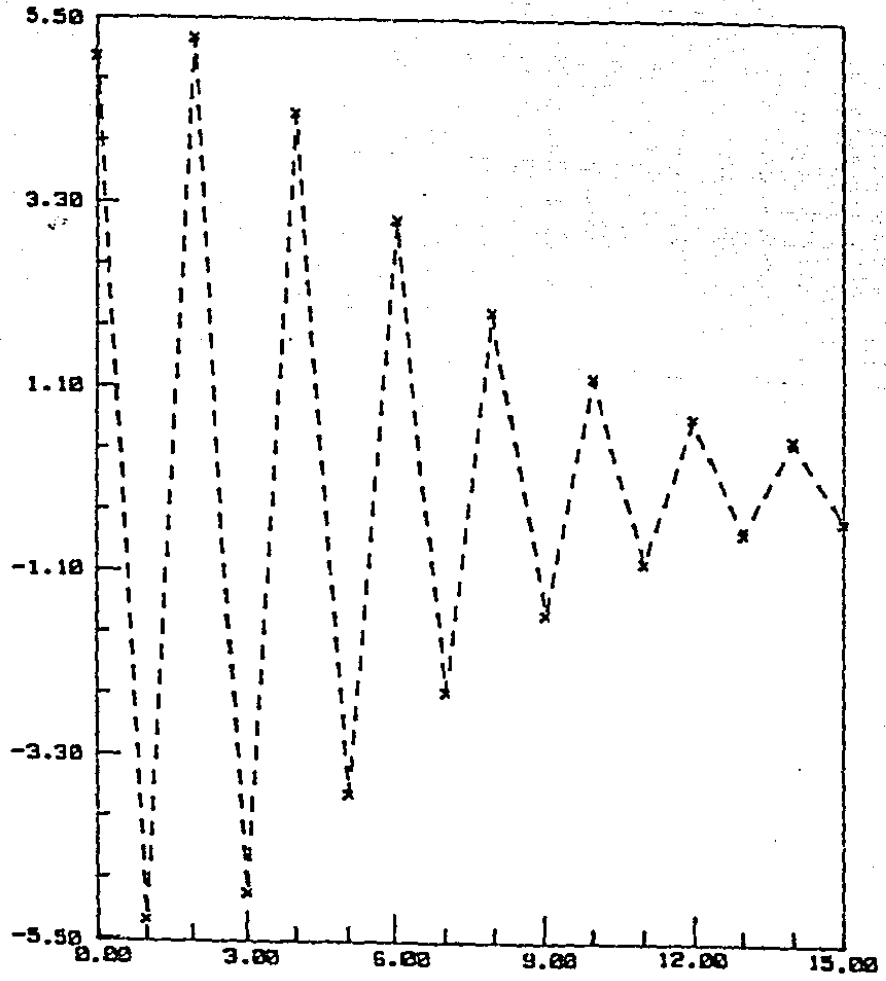


Fig.12 Operador 90: Transformada Parte Real

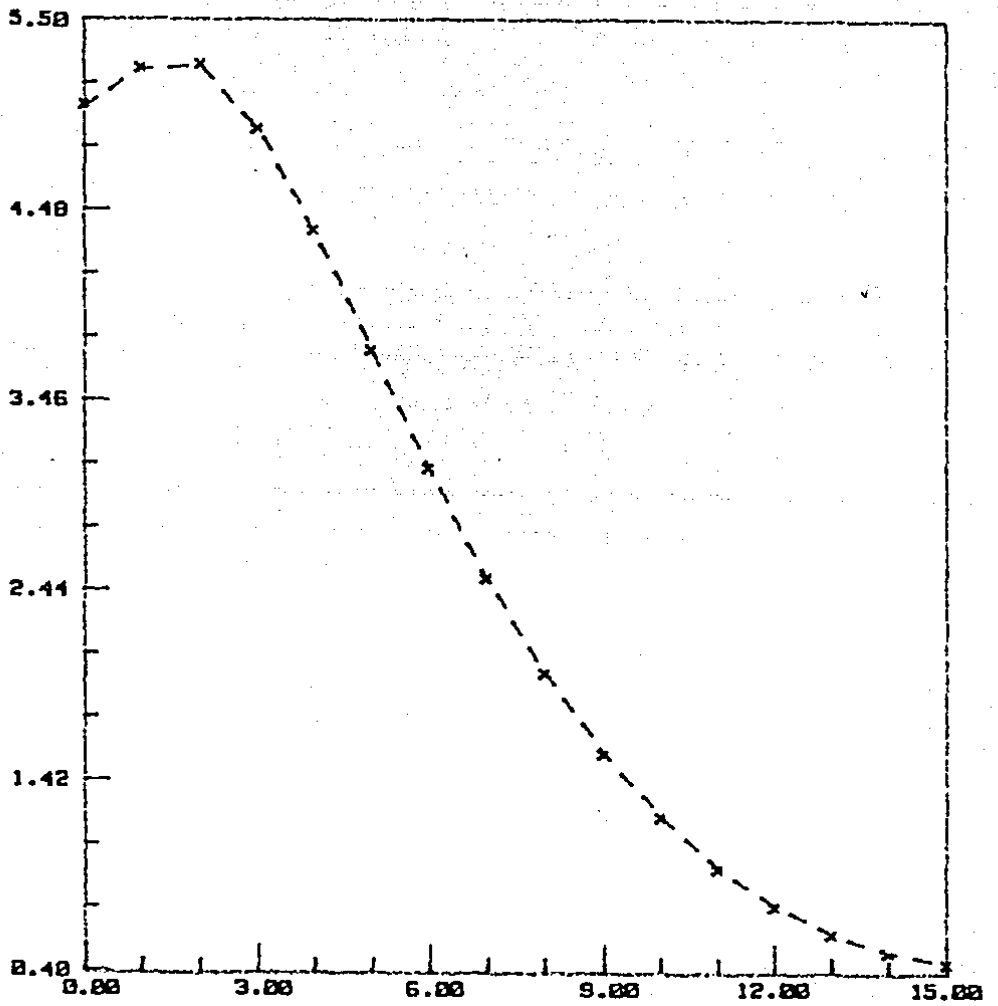


Fig.13 Operador 90° : Espectro de Amplitud

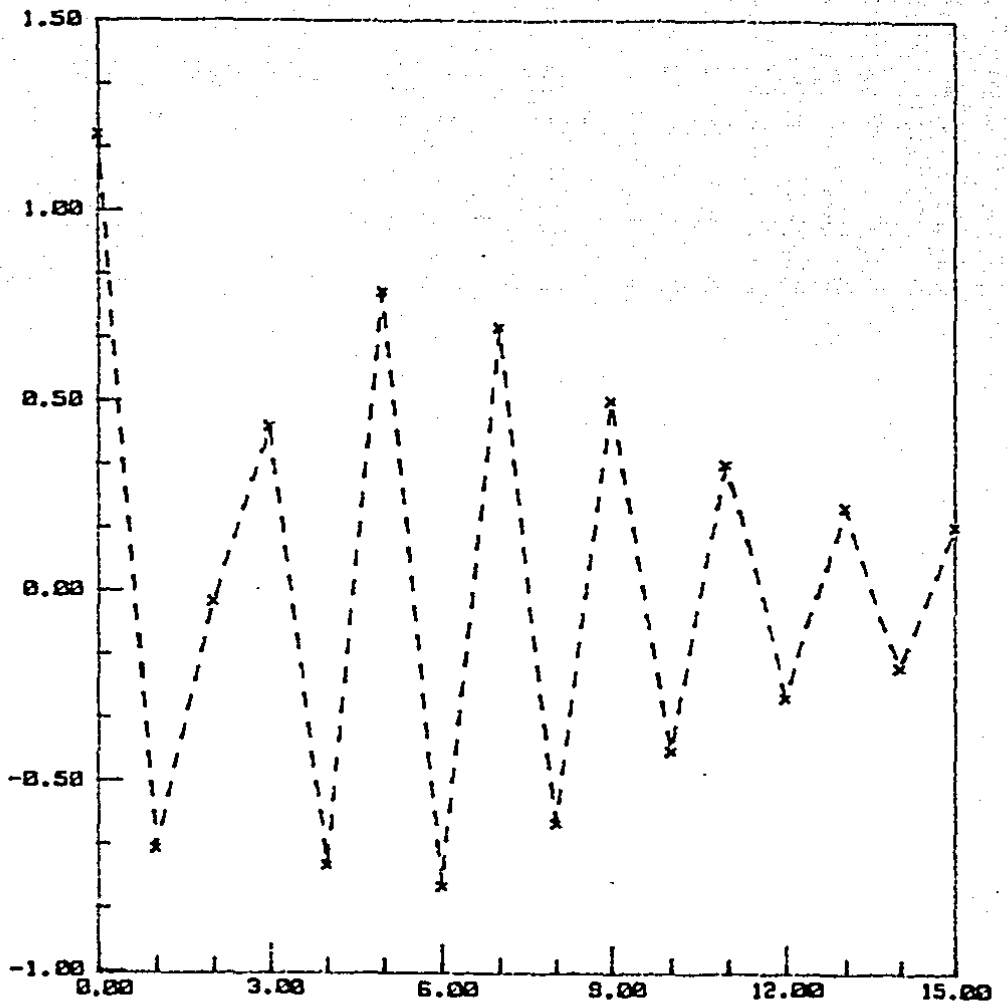


Fig.14 Operador  $30^\circ$  : Transformada Parte Real

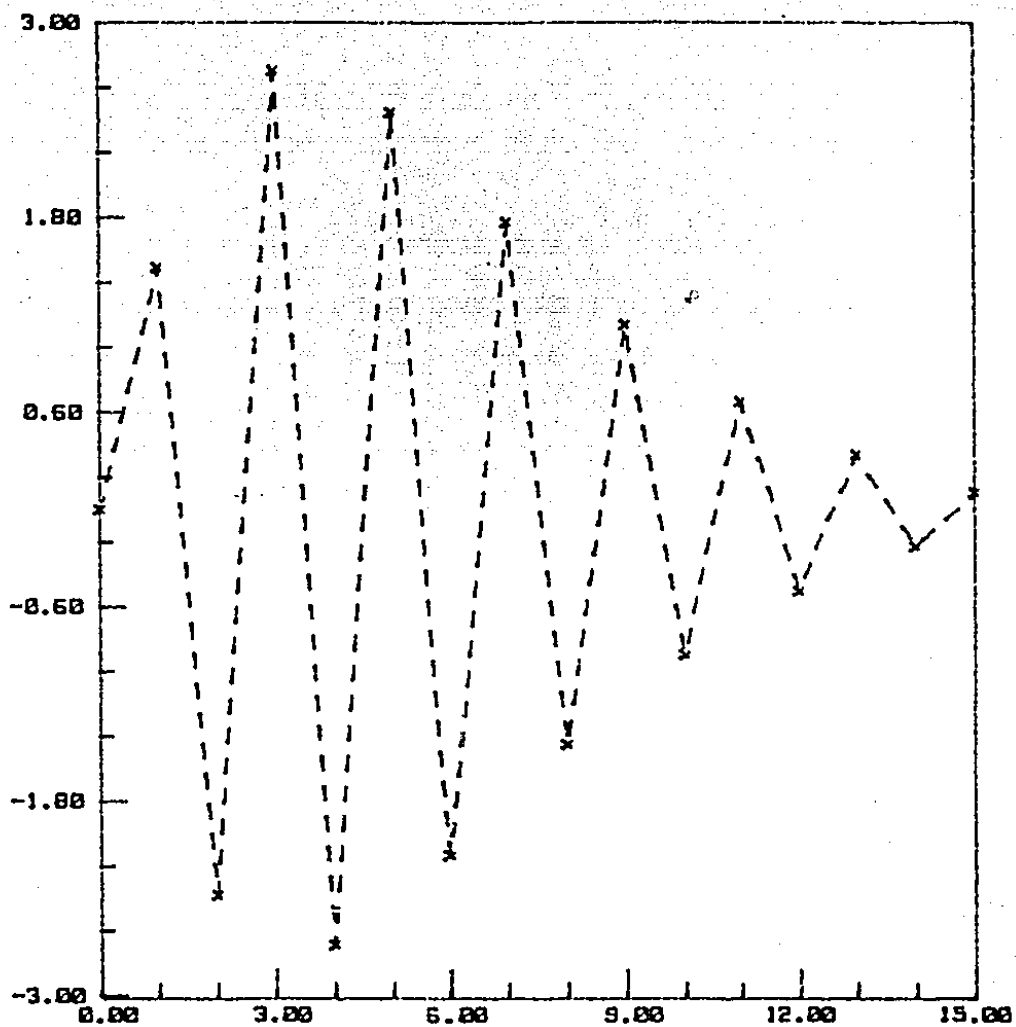


Fig.15 Operador 38° : Transformada Parte Imaginaria

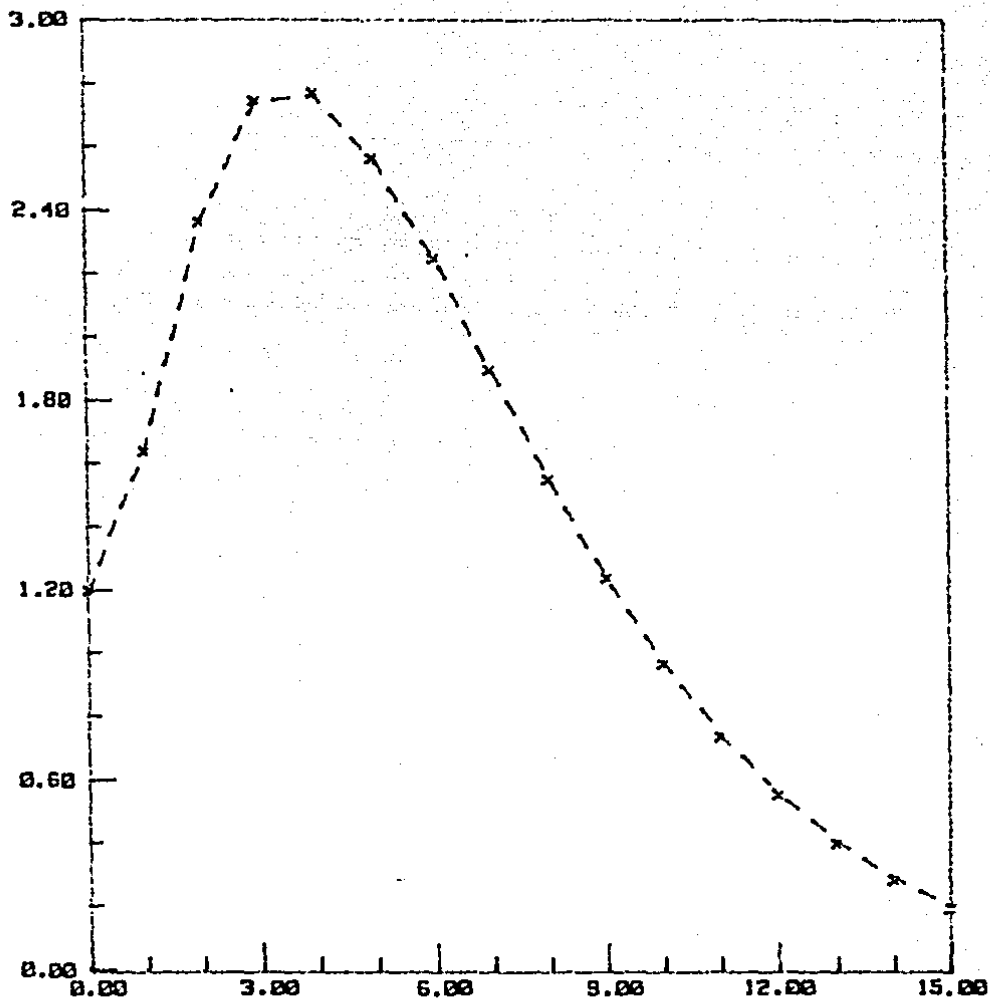


Fig.16 Operador 30°: Espectro de Amplitud

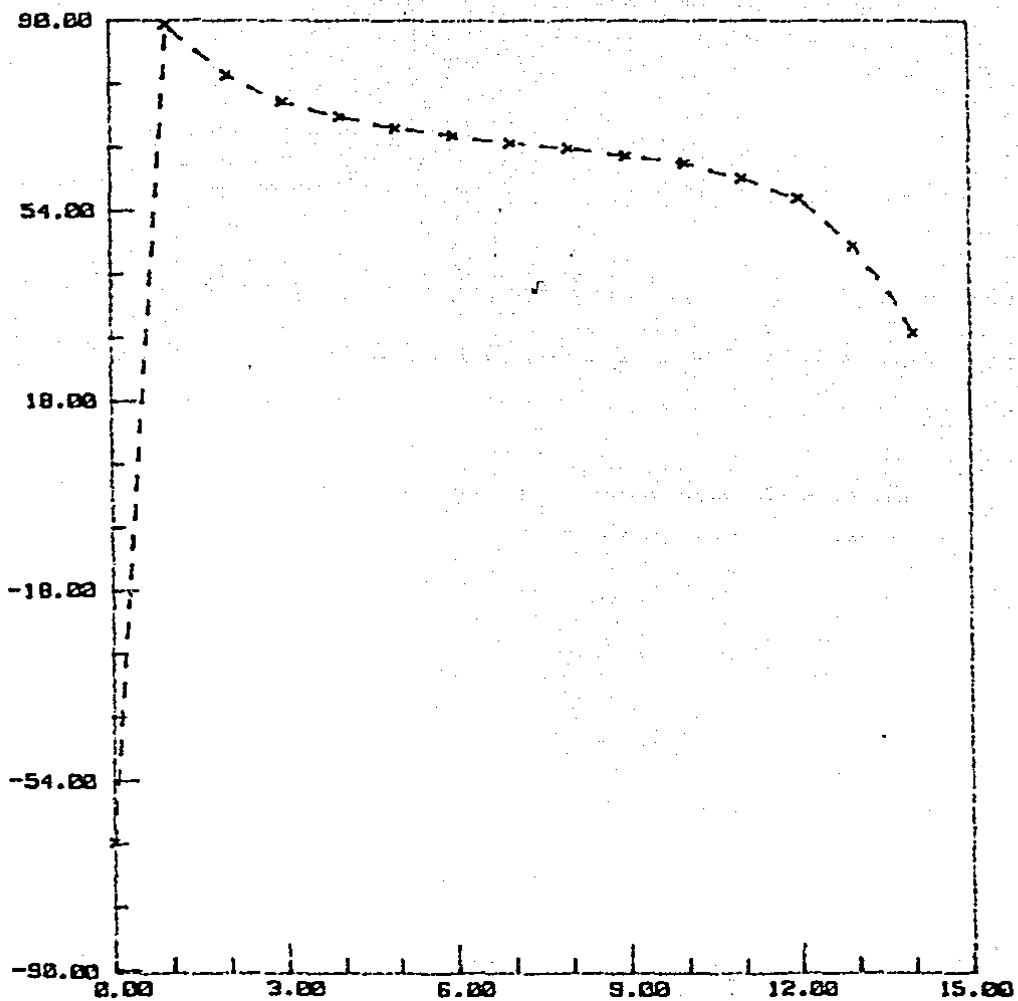


Fig.17 Operador 30° : Espectro de Fase

### 3.2. EL PRISMA

Al ser calculadas las anomalías gravimétricas y magnéticas de un prisma de  $2 \times 2 \times 2$  unidades con un contraste de densidad de  $1.0 \text{ gr/cm}^3$ , con una susceptibilidad magnética de  $0.001 \text{ c.g.s.}$ , al valor del campo magnético total de  $47700 \text{ gammas}$ , un ángulo de inclinación de  $90^\circ$  y un ángulo de declinación de  $0^\circ$  se obtuvieron las anomalías de las figuras 18 y 19 respectivamente.

La anomalía gravimétrica calculada en una malla de  $8 \times 8$  se convolucionó en el espacio con un operador cuadrado de  $5 \times 5$ , figura 20, para obtener la pseudoanomalía magnética de campo total de  $8 \times 8$  a la cual se le ha removido el efecto de borde, figura 21. La misma anomalía gravimétrica se convolucionó en el espacio con un operador ( $I_n=90^\circ, D_e=0^\circ$ ) de  $8 \times 8$  (Fig. 22), para obtener la pseudoanomalía de la figura 23 de  $15 \times 15$ . En la figura 24 se puede observar la misma pseudoanomalía pero removiendo el efecto de borde ( $8 \times 8$ ). En la figura 25 se observa la pseudoanomalía calculada por producto en el dominio de las frecuencias de  $8 \times 8$ , para una inclinación de  $90$  grados y una declinación de  $0$  grados. El mismo procedimiento se sigue para una inclinación de  $45^\circ$  y declinación de  $0^\circ$ ; en la figura 26 tenemos la anomalía magnética de  $8 \times 8$ . En la figura 27 el operador de  $5 \times 5$  y en la figura 28 la pseudoanomalía, de  $8 \times 8$ , por convolucion en el espacio luego de remover el efecto de borde. En las figuras 29 y 30 se pueden observar el operador de  $8 \times 8$  ( $I_n=90^\circ, D_e=0^\circ$ ) y la pseudoanomalía por convolucion en el espacio, de  $8 \times 8$ , luego de remover las orillas, respectivamente. La figura 31 muestra la

pseudoanomalía calculada por producto en las frecuencias (7 x 7). Los espectro de amplitud de los operadores de  $90^{\circ}$  y  $45^{\circ}$  se muestran en las figuras 32 y 33.



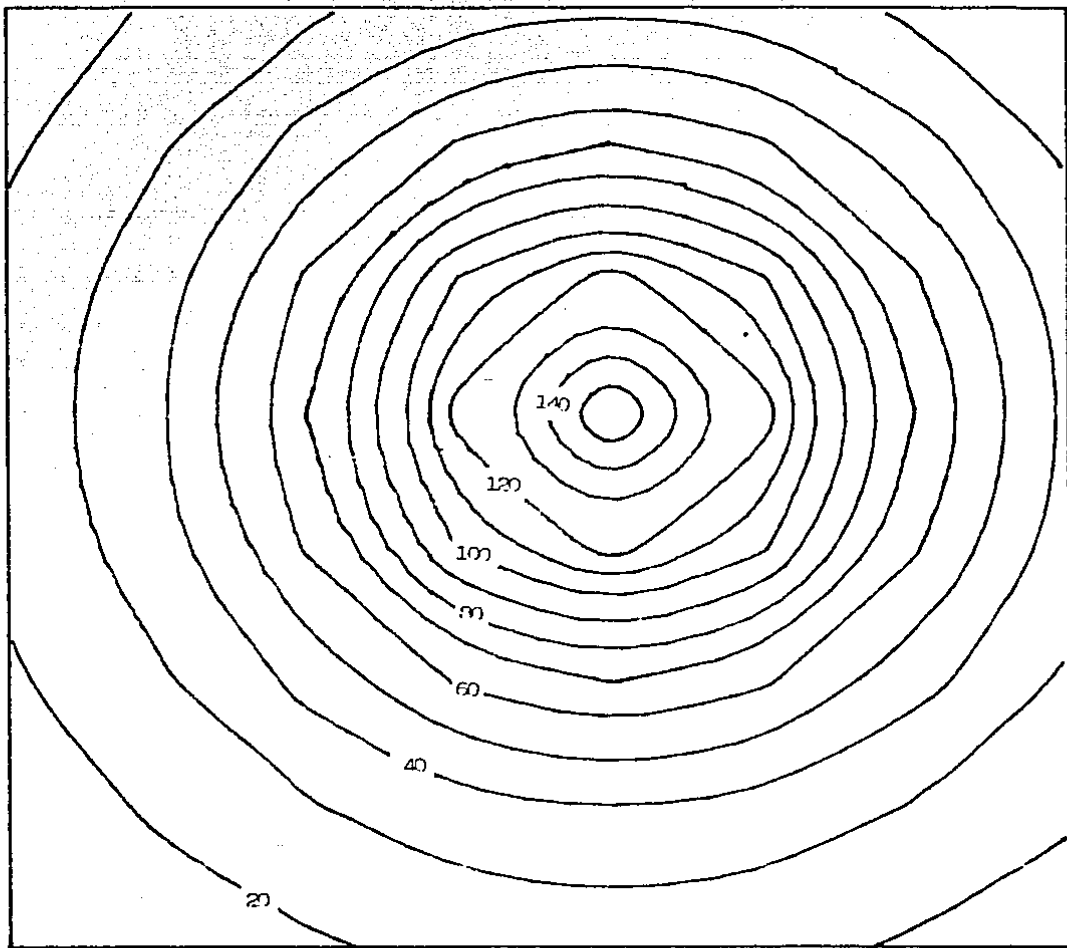


Fig.18 Anomalia Gravimétrica (8 x 8)

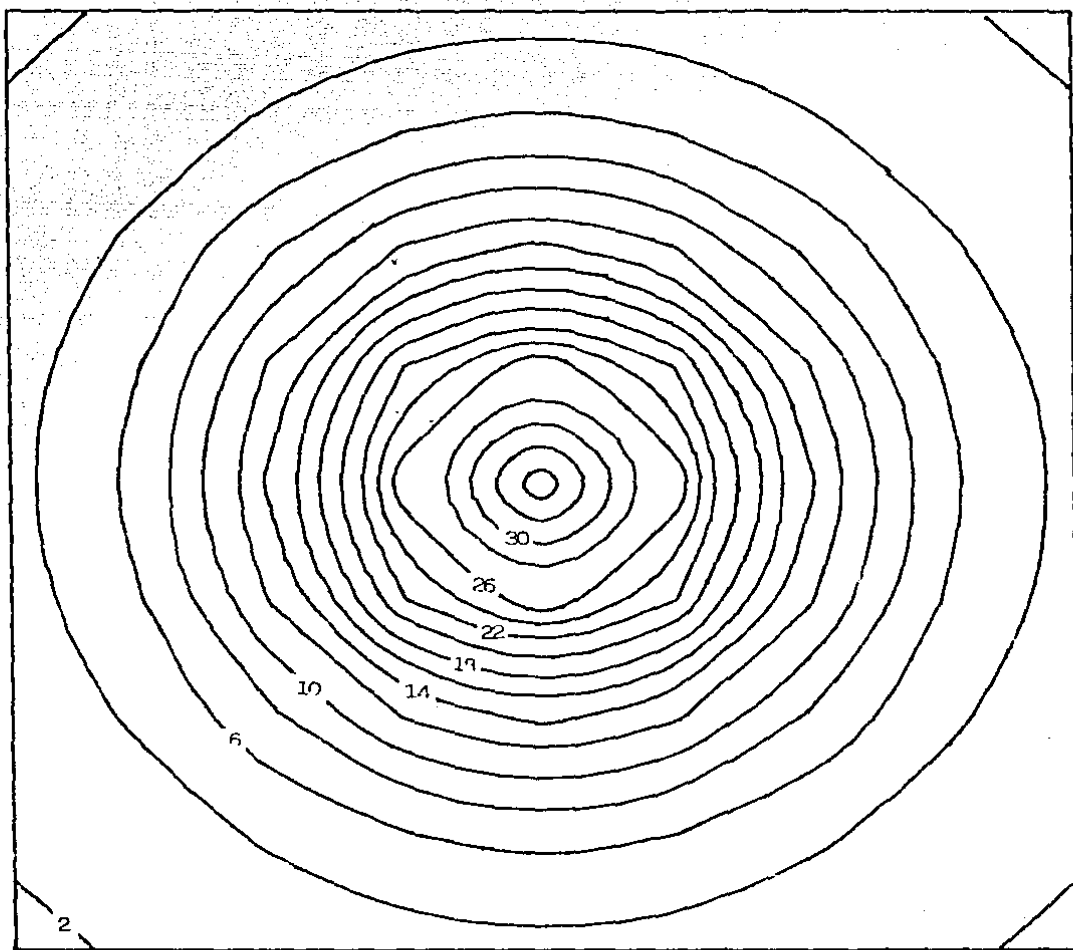


Fig.19 Anomalia Magnética I=90 (8 x 8)

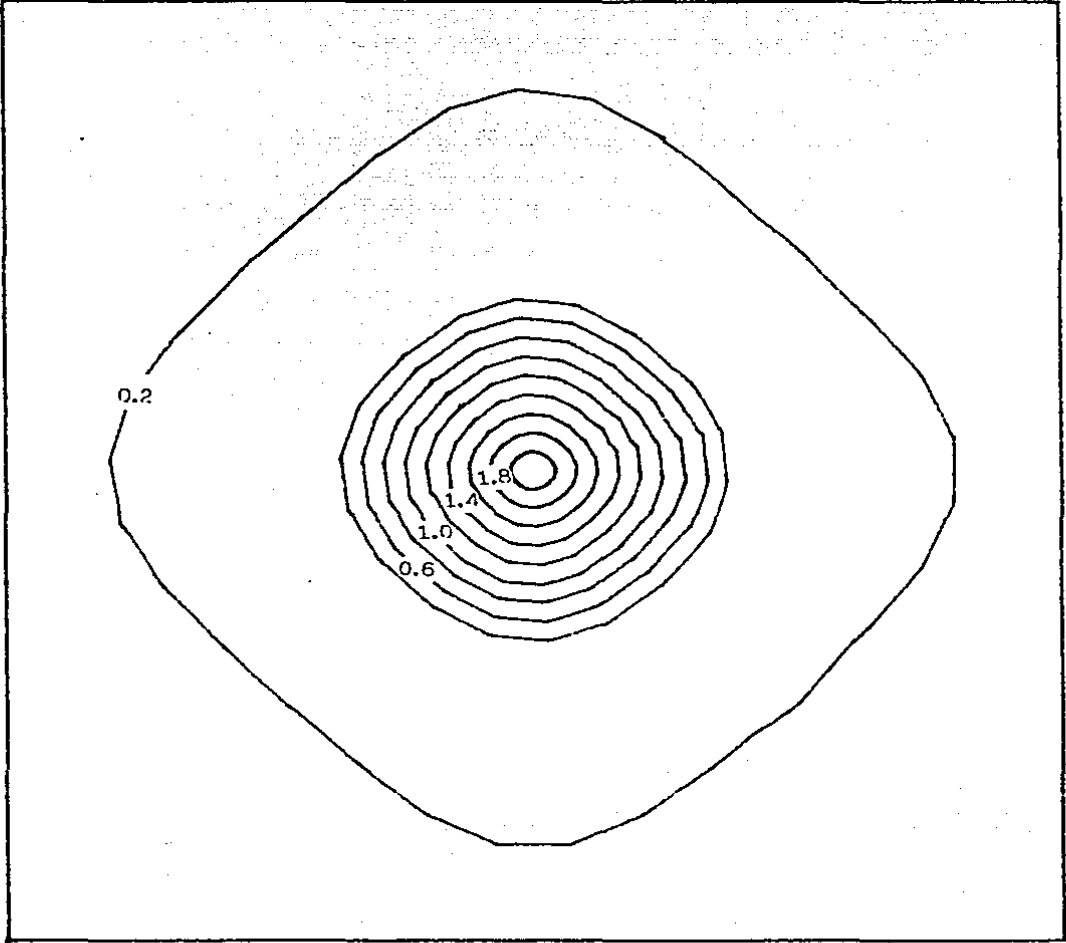


Fig.2B Operator I=90 (5 x 5)

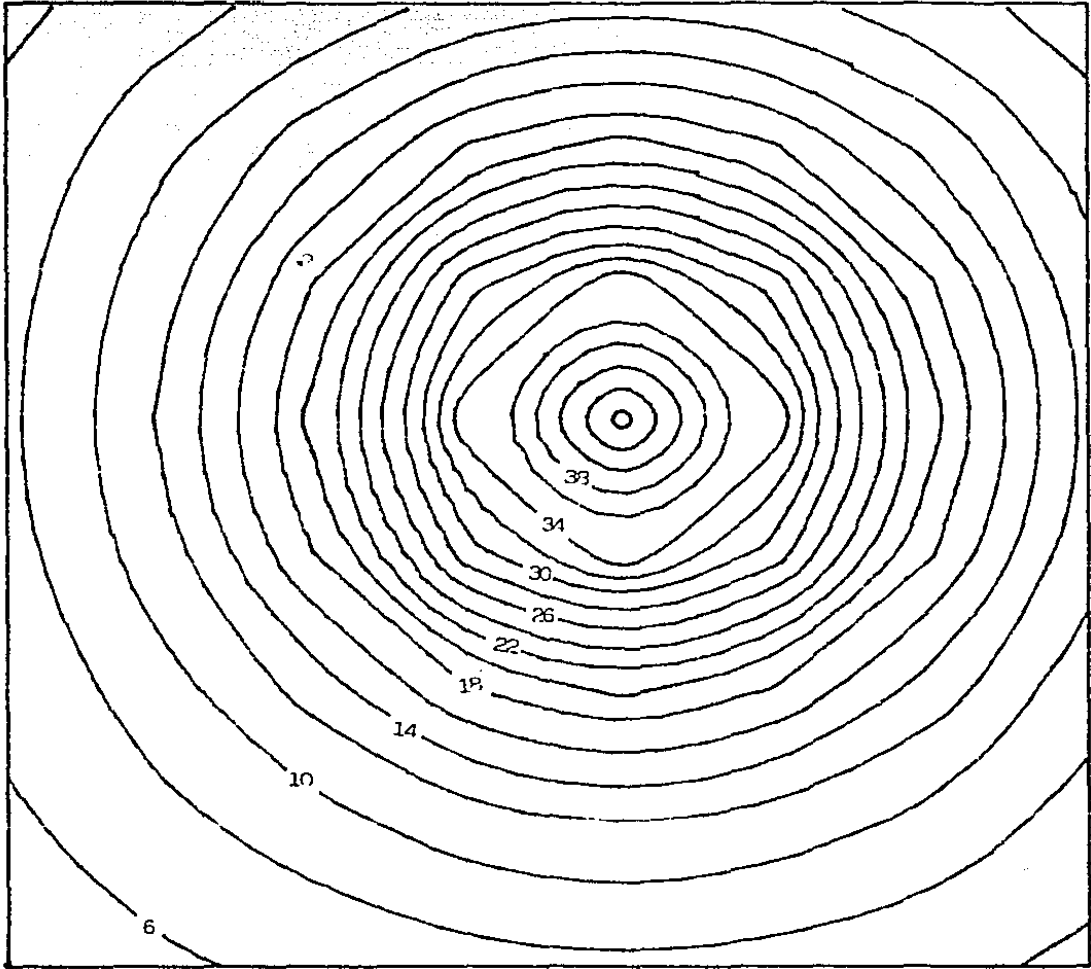


Fig.21 Pseudoanomalía por convolución en el espacio

$I=90$  (8 x 8)

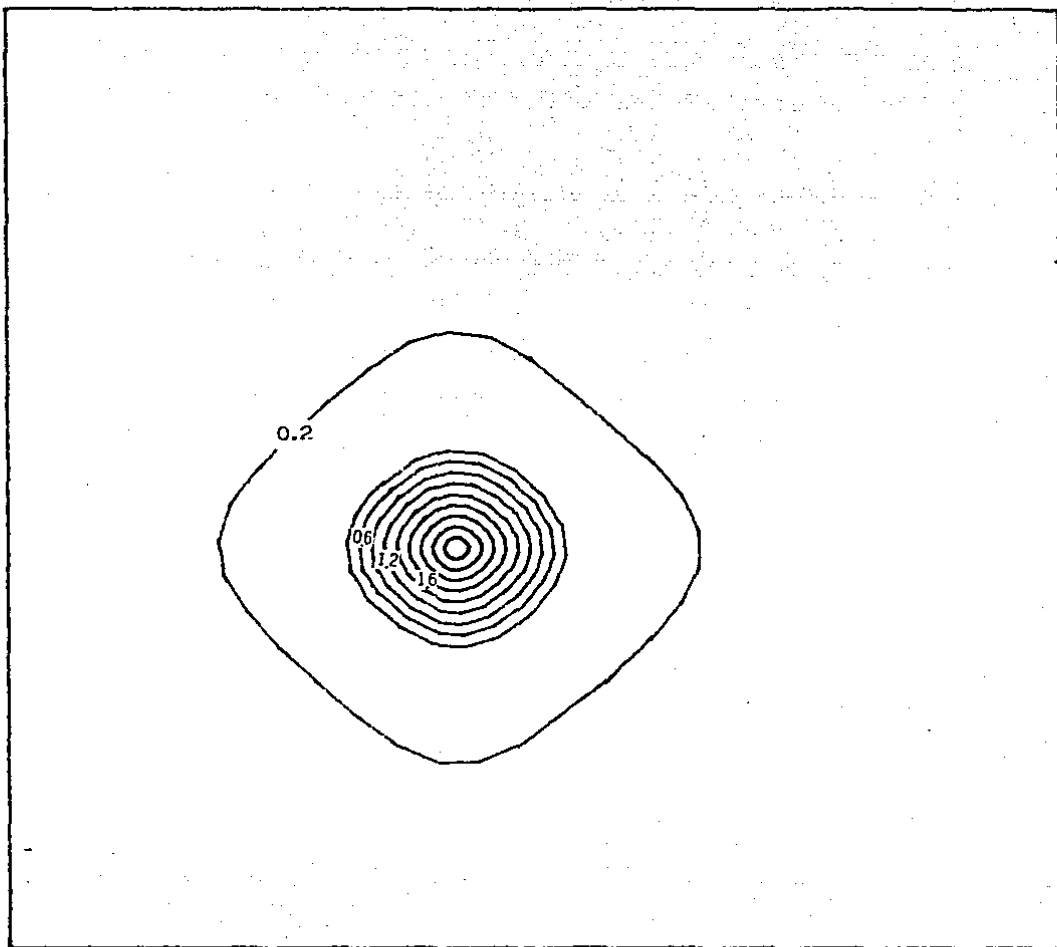


Fig.22 Operador I=98 (8 x 8)

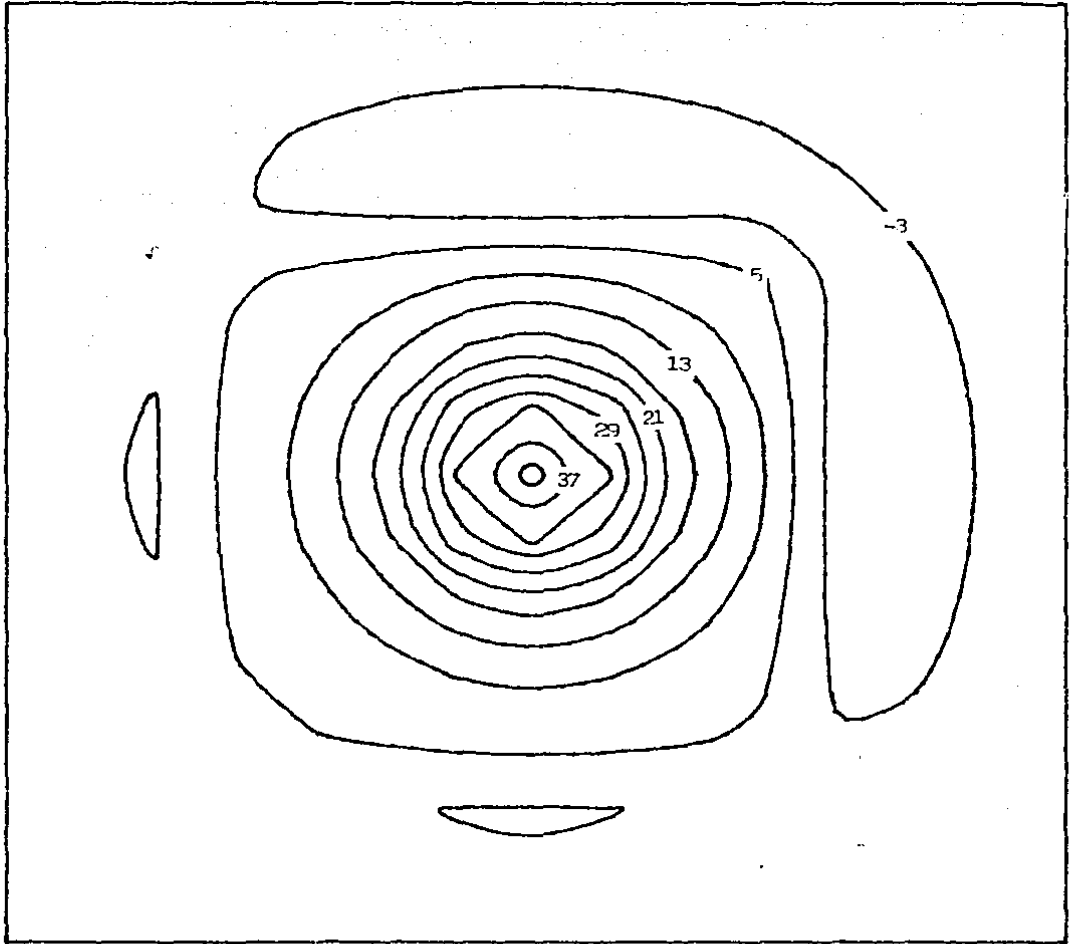


Fig.23 Pseudoanomalía por convolución en el espacio

I-90 (15 x 15)

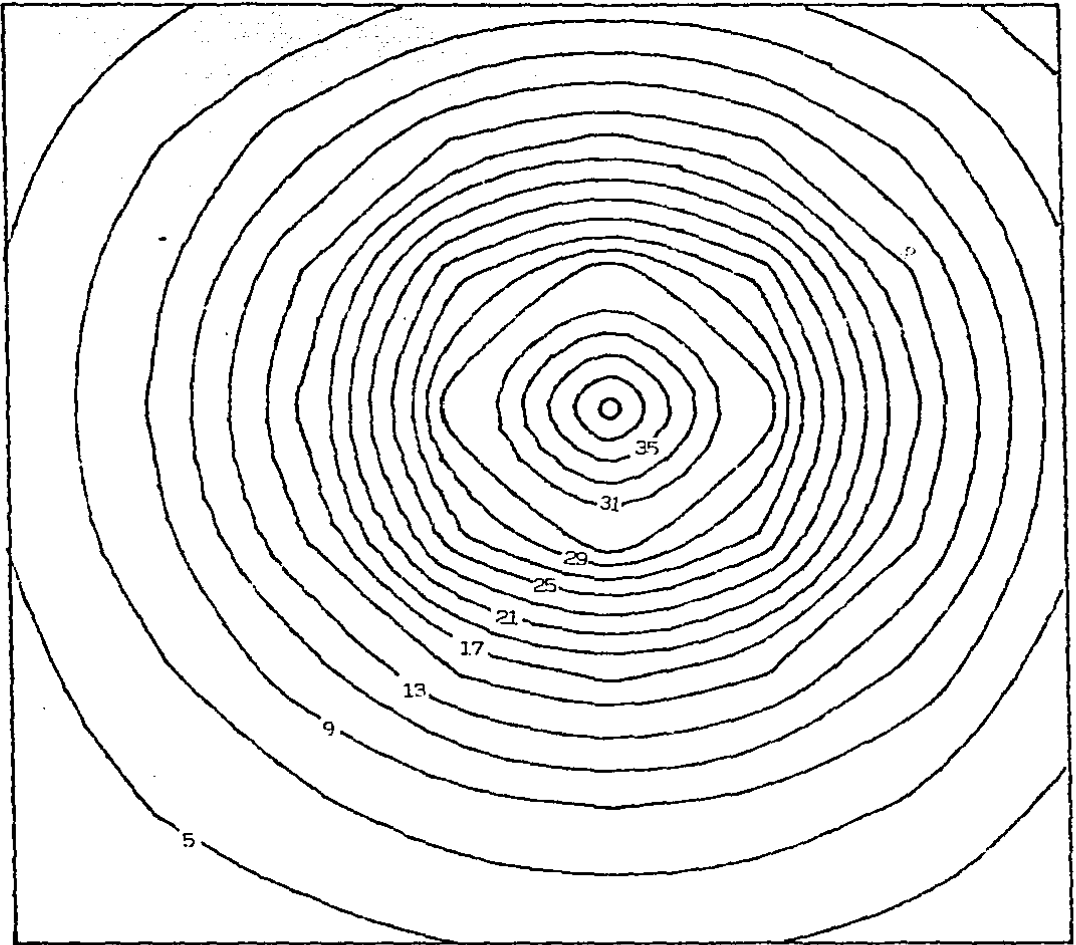


Fig.24 Pseudoanomalía por convolución en el espacio  
sin efecto de borde  $I=90$  (8 x 8)

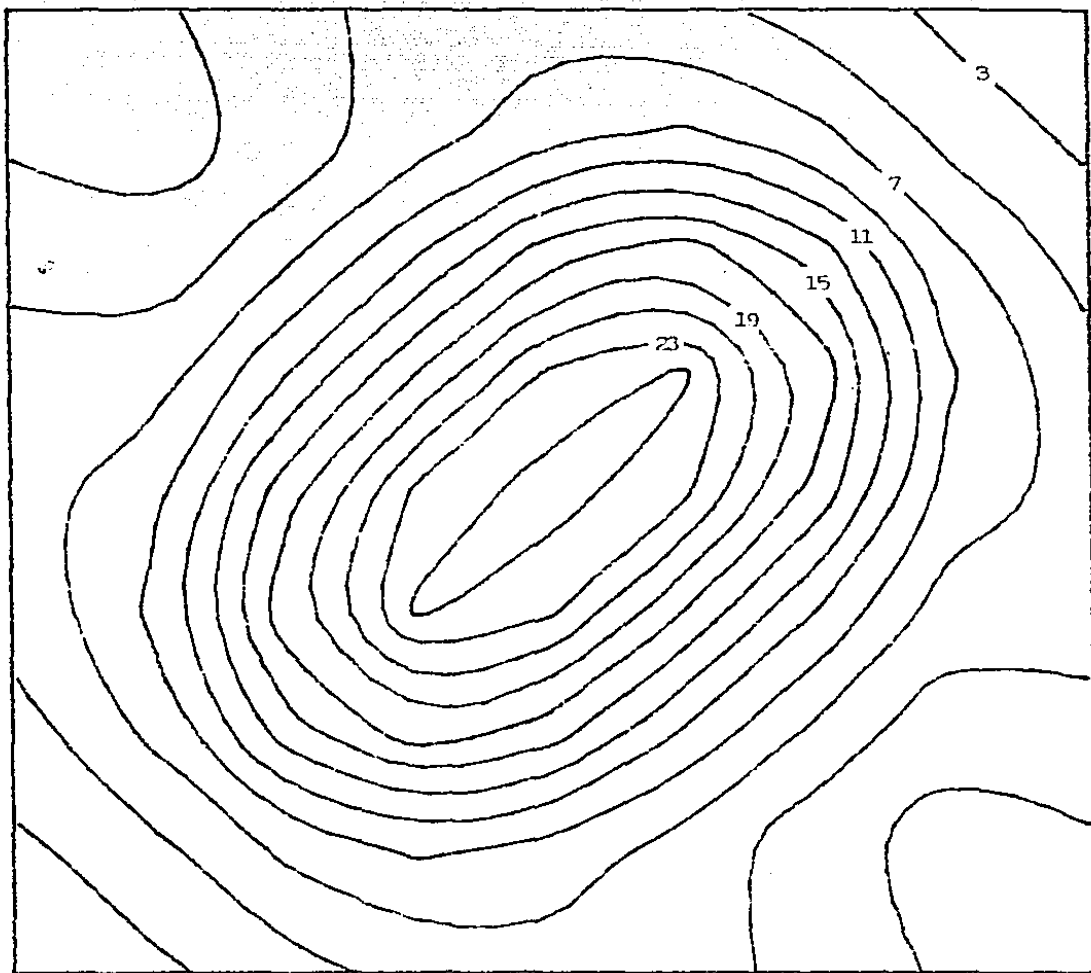


Fig.25 Pseudoanomalía por producto en las  
frecuencias  $I=90$  ( $9 \times 9$ )



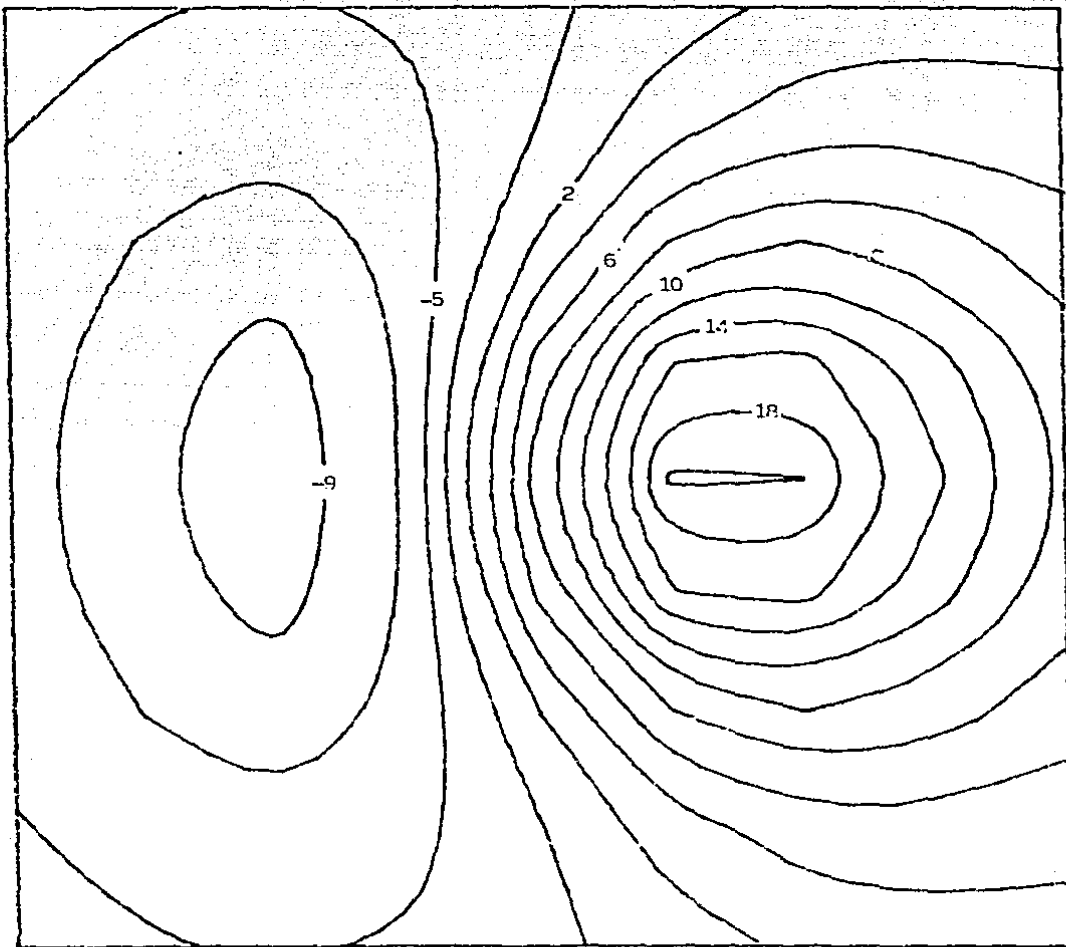


Fig.26 Anomalia Magnética I=45 · (8 x 8)

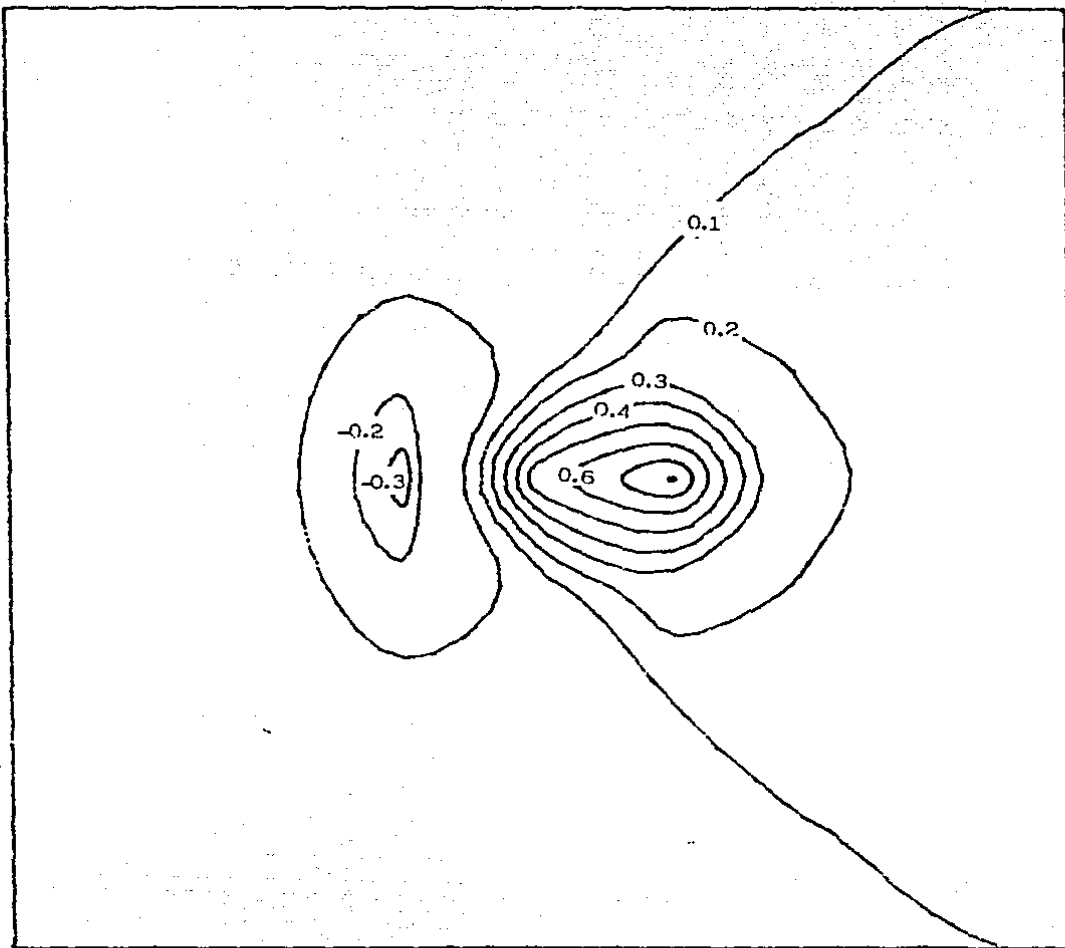


Fig.27 Operador  $I=45$  (5 x 5)

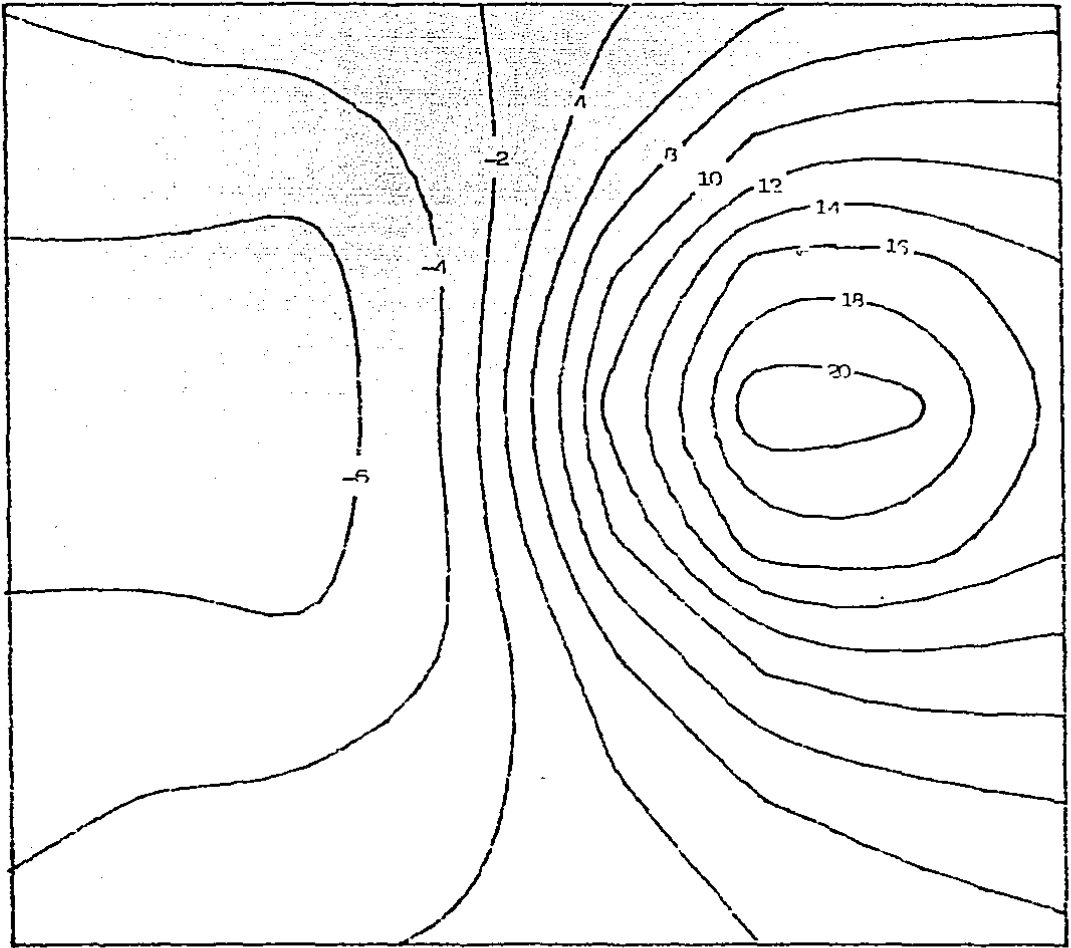


Fig.2B Pseudoanomalía por convolución en el  
espacio  $I=45$  ( $8 \times 8$ )

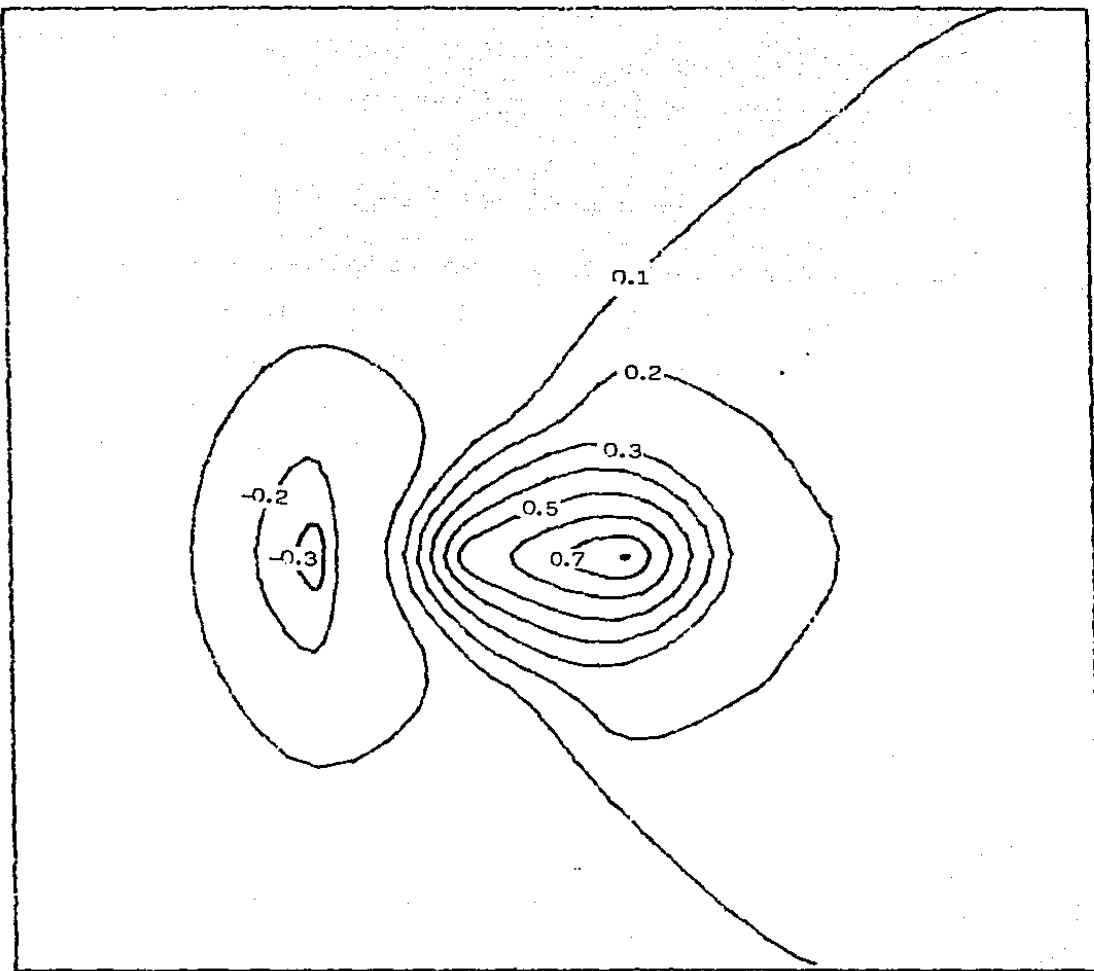


Fig.29 Operator  $I=45$  (8 x 8)

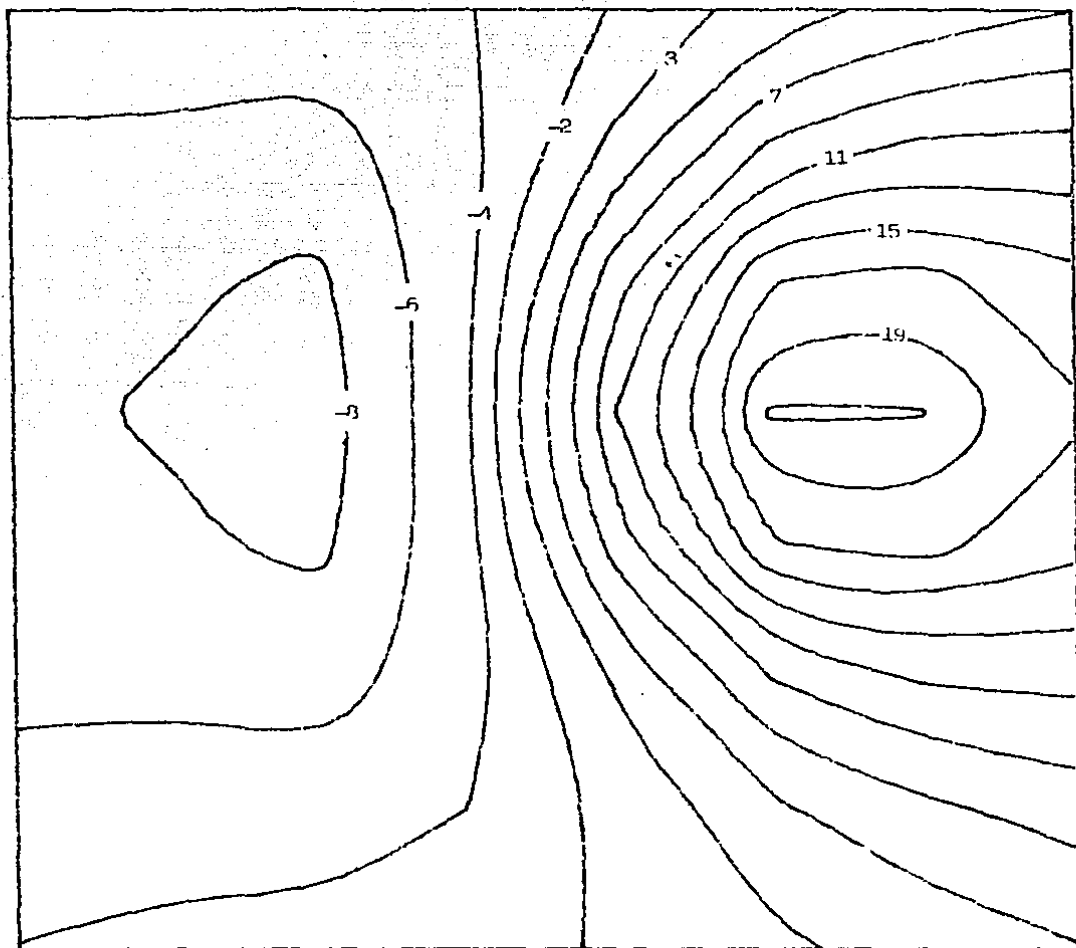


Fig.30 Pseudoanomalía por convolución en el  
espacio  $I=45$  ( $8 \times 8$ )

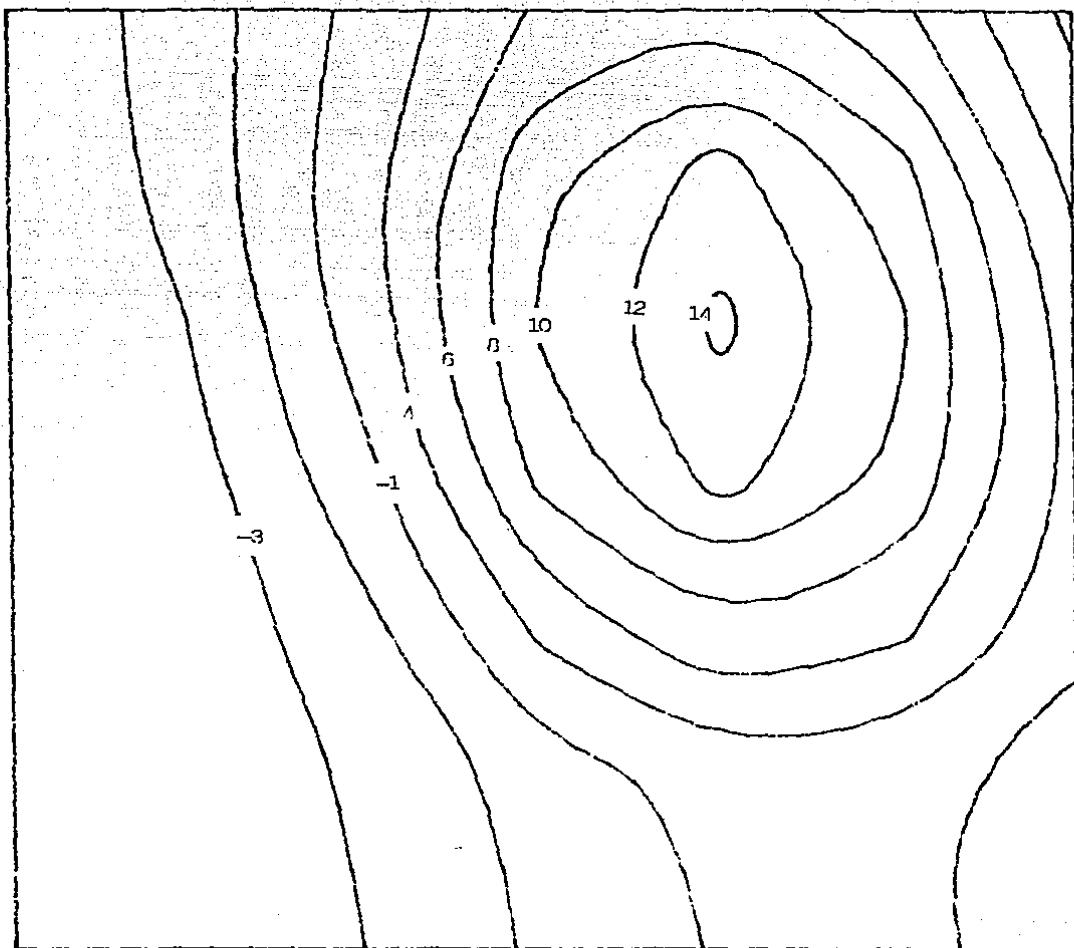


Fig.31 Pseudoanomalía por producto en las  
frecuencias  $I=45$  ( $7 \times 7$ )

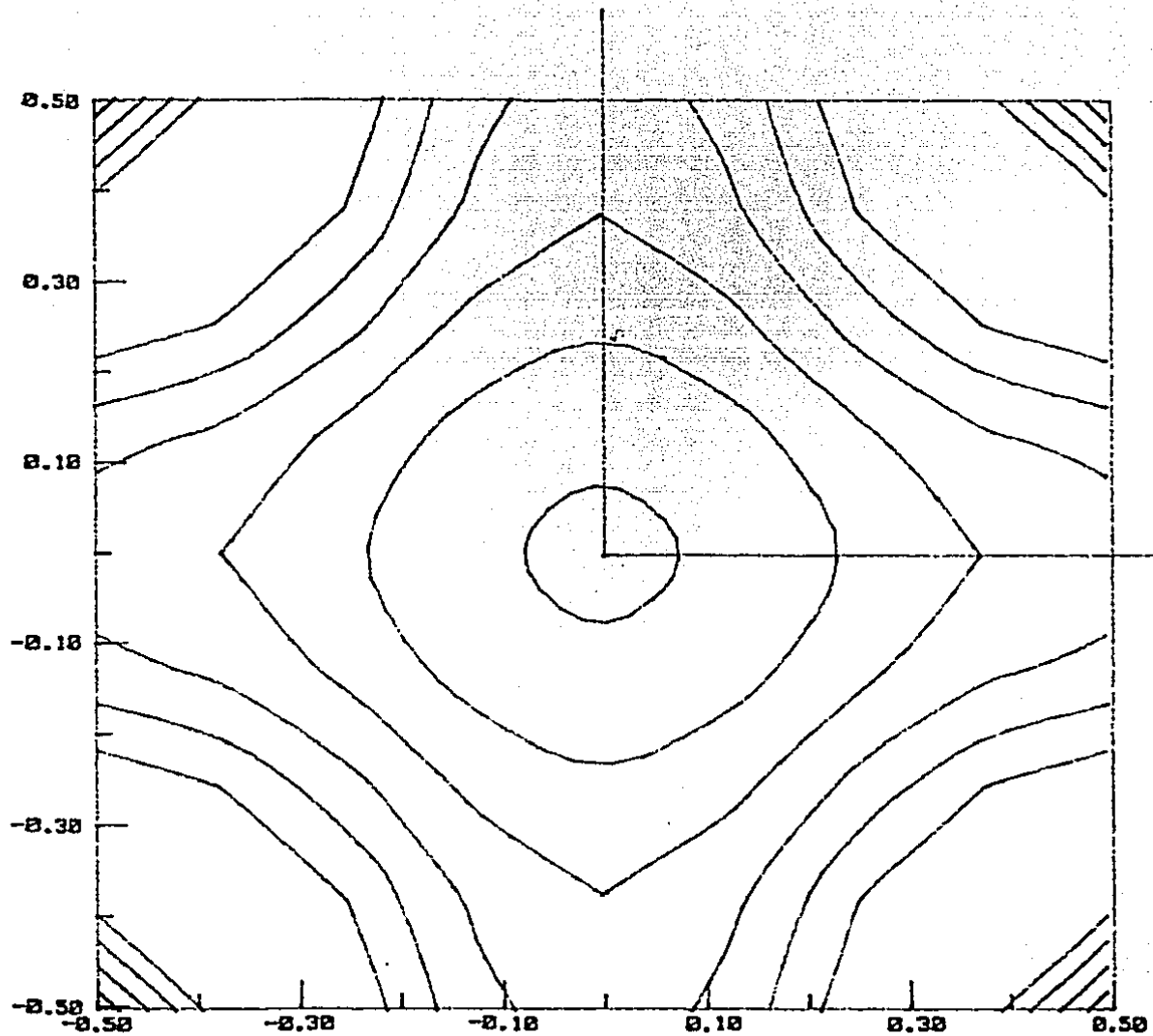


Fig.32 Espectro de Amplitud I=90 (9 x 9)

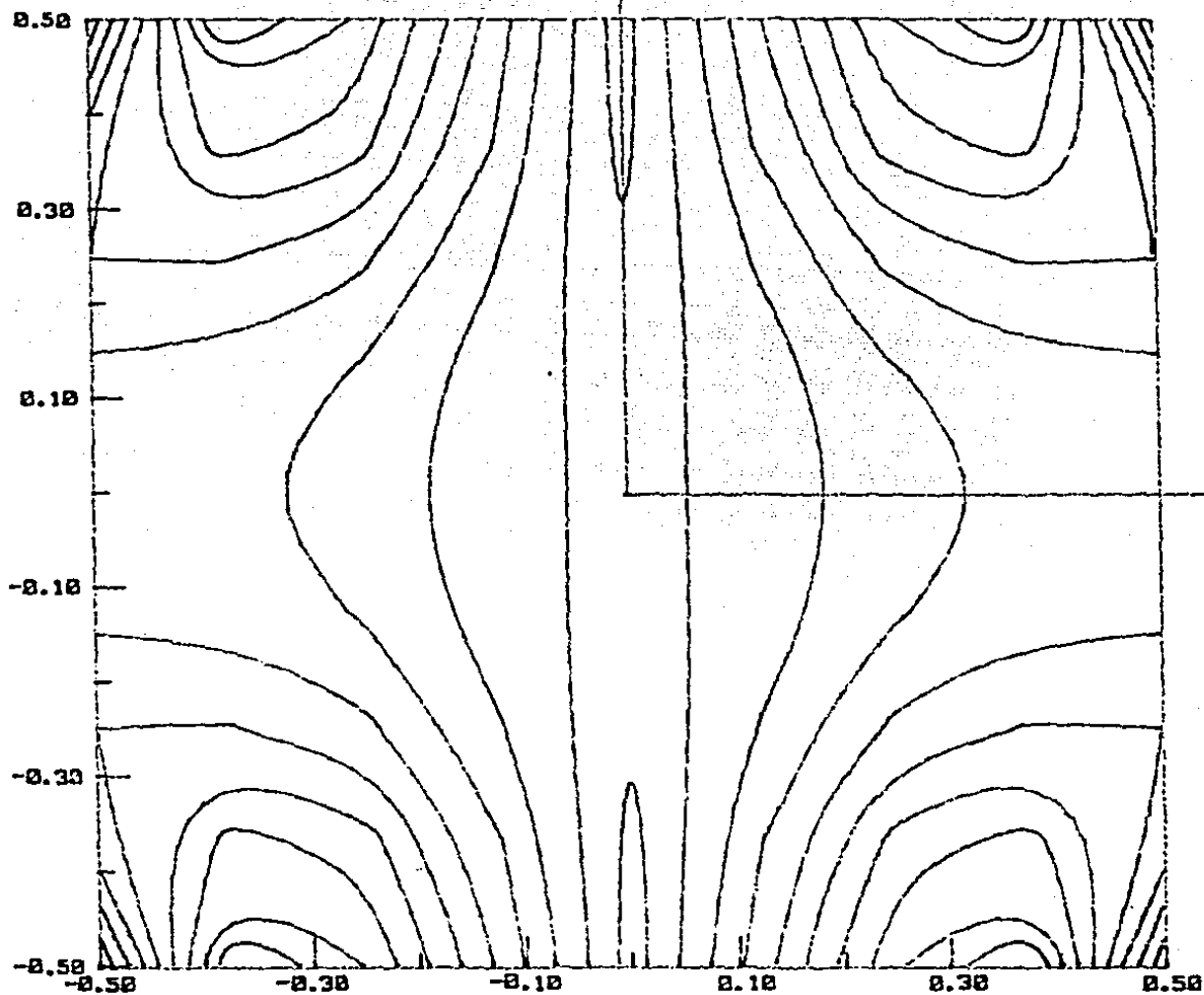


Fig.33 Espectro de Amplitud I=45 (9 x 9)



## CAPITULO 4 APLICACION A UN CASO REAL

### 4.1. LA CALDERA LOS HUMEROS

#### 4.1.1. LOCALIZACION

El proyecto geotermico (PG) los Humeros-Derrumbadas se encuentra en la Cuenca de Libres-Oriental, en los estados de Puebla y Veracruz, figura 34; geológicamente se localiza en el extremo oriental de la Zona Neovolcánica Transmexicana que atraviesa a México en la dirección W-E, en intersección con la Sierra Madre Oriental.

El área estudiada comprende aproximadamente una superficie de 4000 km<sup>2</sup> y se encuentra delimitada por las coordenadas:

19°05' a 19°44' de Latitud Norte  
97°20' a 97°45' de Longitud Oeste

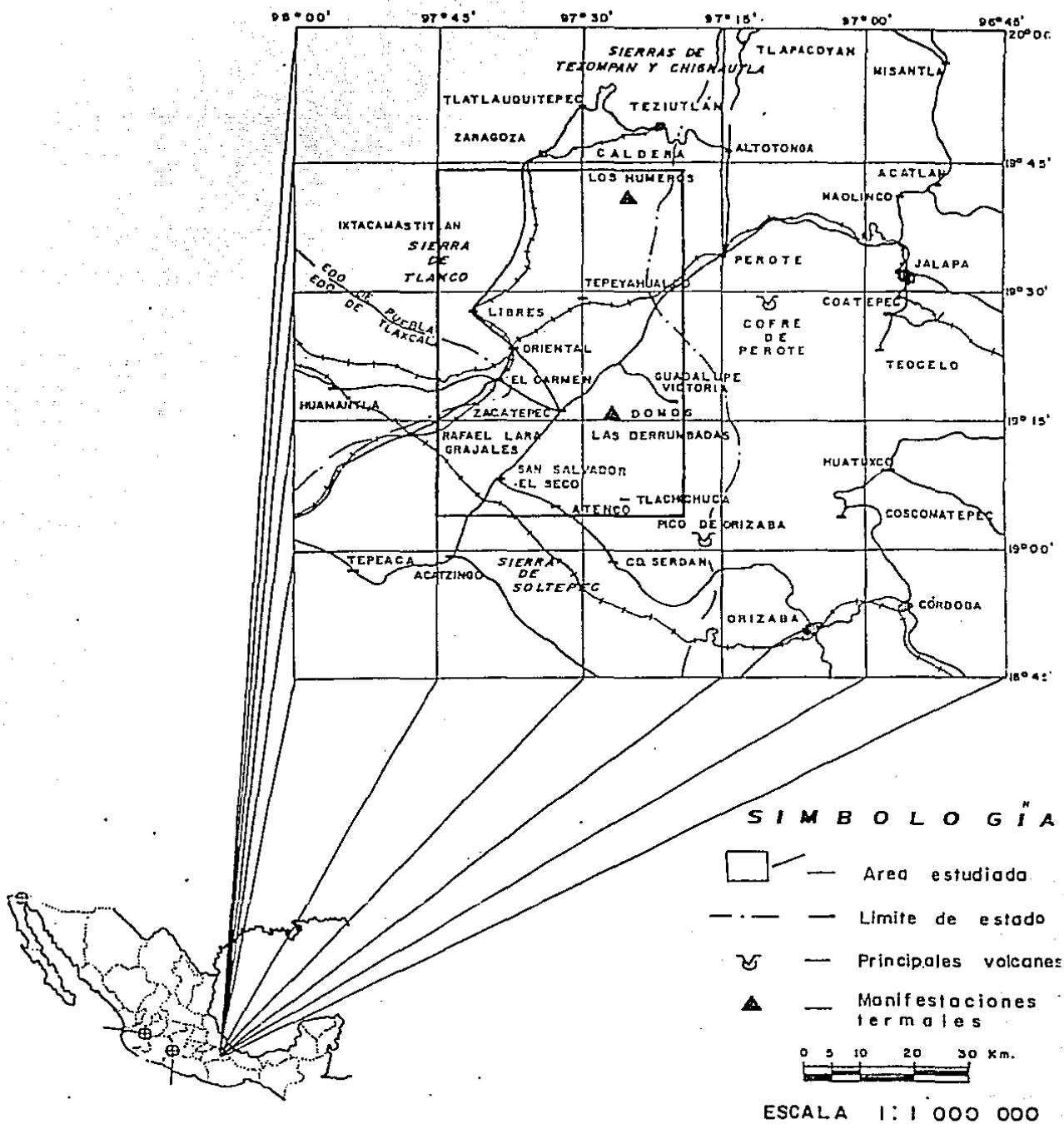


Fig. 34 Localización del area estudiada

#### 4.1.2. BOSQUEJO GEOLOGICO

Geológicamente el área se encuentra limitada al norte por la estructura dómica denominada Macizo de Teziutlán, constituida por esquistos y rocas graníticas desarrolladas desde el Permico Tardío al Triásico Tardío-Jurásico Temprano que forman el basamento regional. Cubriendo discordantemente a este, aparecen las rocas clásticas del Triásico-Jurásico las cuales, a su vez, están cubiertas del mismo modo por una secuencia marina que representa al Jurásico Superior-Cretácico Superior.

Las rocas mesozoicas sufrieron plegamiento a principios del Terciario y las estructuras plegadas fueron semierosionadas antes de que las rocas volcánicas posteriores las cubrieran.

La primera acumulación de rocas volcánicas se efectuó hace aproximadamente 11 millones de años y está constituida por derrames de andesita de hornblenda. Estas rocas se encuentran cubiertas parcialmente por derrames de andesita de augita procedentes de los volcanes Cofre de Perote y Pico de Orizaba, cuya edad es aproximadamente de 5 millones de años.

El siguiente evento magmático fue de tipo explosivo con producción de gran cantidad de ignimbritas que concluyó con derrames y domos

asociados de composición acida. Esta actividad vació parcialmente la cámara magmática y provocó el desplome de la estructura originandose de esta manera la caldera por hundimiento.

Después del hundimiento se sucedieron una serie de derrames de andesita basáltica y posteriormente continuó la actividad volcánica con la erupción de grandes cantidades de pomez que cubrió en forma considerable la región.

La fase final de la actividad volcánica del área se manifiesta con la producción de una serie de derrames de composición basáltica que muestran estrecha relación con el origen de las calderas de explosión, que están distribuidas en toda la región. [Proyecto Geotermico Los Humeros-Derrumbadas, Informe Geofísico, Comisión Federal de Electricidad, 1981]

#### 4.1.3. ANTECEDENTES GEOFISICOS

Entre los meses de febrero y abril de 1968 la Comisión Federal de Electricidad (CFE), en coordinación con el Instituto de Geofísica de la Universidad Nacional Autónoma de México (U.N.A.M)., realizaron los primeros estudios geofísicos en La Caldera los Humeros, haciendo mediciones de tipo termico, magnéticas, gravimétricas, de resistividad

y de ruido sísmico, cubriendo en conjunto un área de 18.43 km<sup>2</sup>.

Para 1977 se realizaron otros estudios geofísicos por personal del Instituto de Geofísica de la U.N.A.M., consistentes en un levantamiento aeromagnético y otro gravimétrico.

En los años de 1979 y 1980, el mismo Instituto, bajo contrato con la CFE, llevó a cabo también en la Caldera los Hornos un levantamiento regional de corrientes telúricas y de autopotencial.

En 1979, la CFE reanuda los trabajos geofísicos, emprendiendo las exploraciones aeromagnéticas y geoeléctricas a nivel regional en La Caldera Los Hornos y en Las Derrumbadas, y posteriormente los estudios a detalle geoeléctricos y autopotenciales en ambas áreas, los cuales se continuaron hasta fines de 1980.

#### 4.1.4 ANOMALIA ESTUDIADA

##### 4.1.4.1 PERFIL GRAVIMETRICO

En el extremo este del Eje Volcánico Transmexicano se encontró una anomalía gravimétrica negativa. Tectónicamente, dicha anomalía parece corresponder a un hundimiento en el que han tenido lugar varias series de episodios volcánicos: el área considerada es un campo geotérmico potencial, limitado al norte, por el complejo litológico de Teziutlán, hacia el sur, por las llanuras de Tepeyehualco, al oeste por la Sierra Madre Oriental y al este por la cadena Pico de Orizaba-Cofre de Perote.

La figura 35 nos muestra el mapa de anomalía residual. La sección AA' se muestra en la figura 36. [Mena y Gonzales, 1977-1978].

##### 4.1.4.2. PERFIL MAGNETICO

Un levantamiento aeromagnético regional sobre La Caldera Los Hornos, descubrió una anomalía de tipo bipolar sobre la región central de la caldera. Otras anomalías de menor intensidad se representan sobre y fuera del contorno de la caldera.

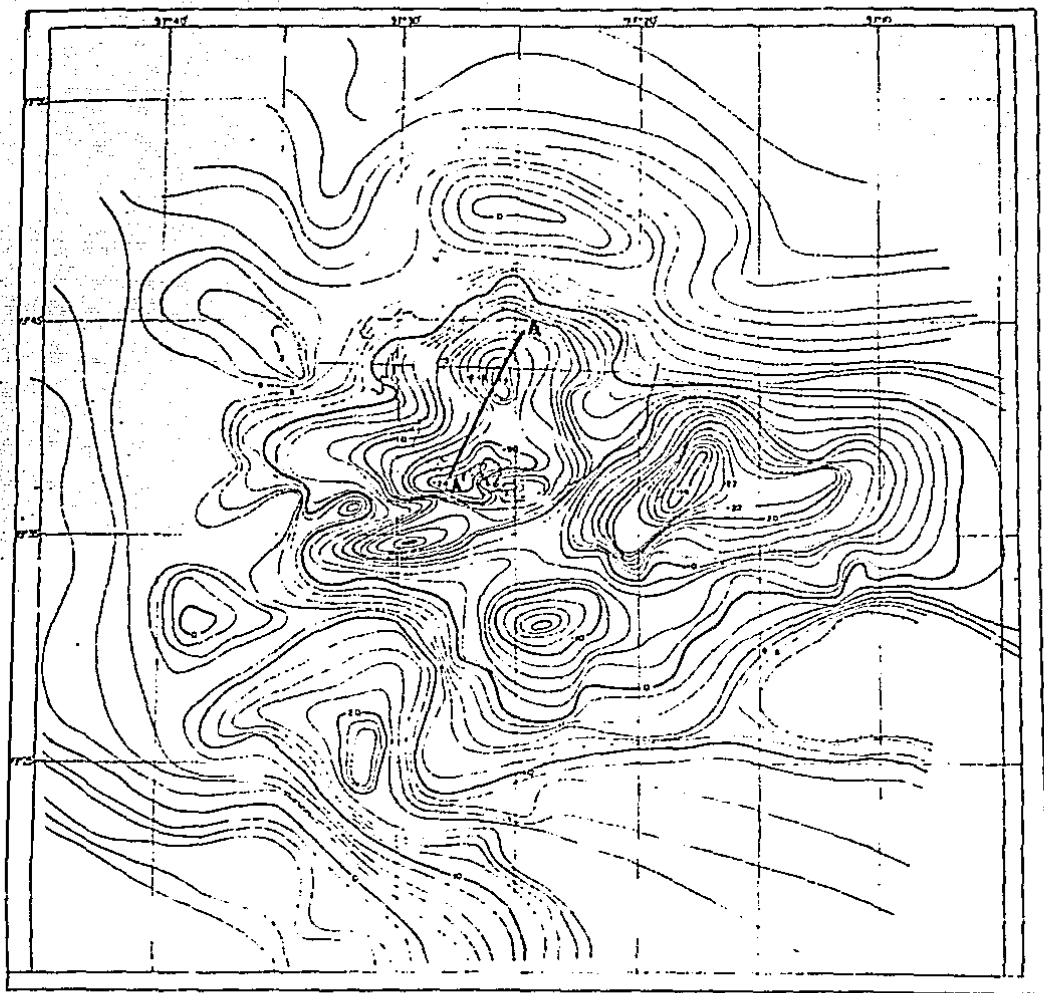


Fig. 35 Mapa de anomalía residual. Valores en Mgals.

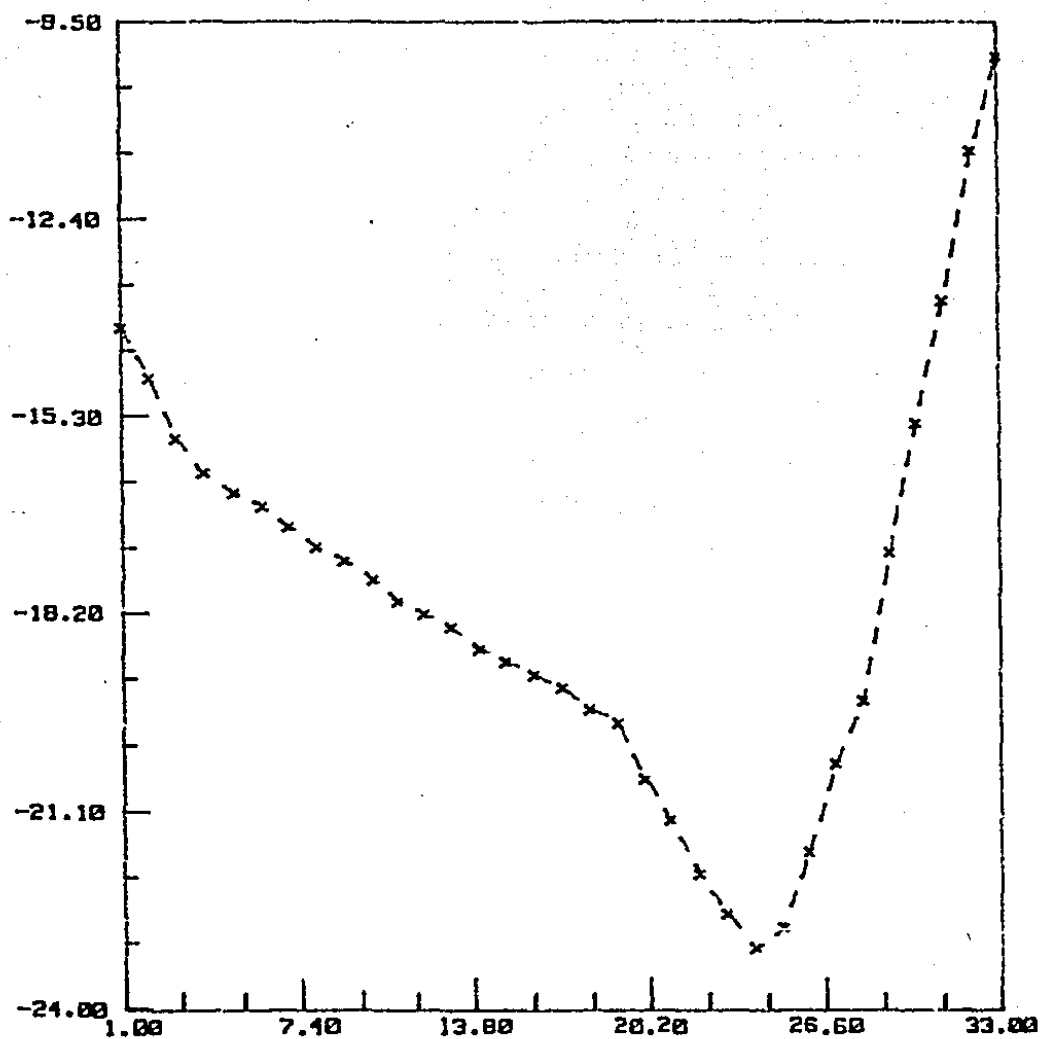


Fig.36 Perfil gravimétrico residual RR'

Valores en miligales



En la figura 37 se puede observar el mapa de anomalía residual del campo total continuado 2 kilómetros sobre el nivel de la superficie. La figura 38 representa la anomalía magnética de campo total, a este nivel, del perfil AA'. [Flores Luna, et. al., 1977-1978].

#### 4.1.5. OPERADORES $\chi$ PSEUDOANOMALIAS

En base a las diferentes interpretaciones que se han tenido sobre la anomalía en cuestión, se diseñaron dos operadores, los cuales al ser convolucionados en el espacio con la anomalía gravimétrica nos proporcionaron las dos pseudoanomalías correspondientes de la siguiente forma:

a) El primer operador, figura 39, se diseñó con las características magnéticas del cuerpo propuesto por Flores et. al., [1977-1978] que son de: declinación e inclinación del campo geomagnético ( $D_e, I_n$ ) iguales a 8.5 y 35 grados respectivamente, declinación e inclinación de polarización ( $\theta, \alpha$ ) de 8.5 y 31 grados respectivamente. La pseudoanomalía magnética del campo total obtenido, figura 40, se calculó con una magnetización efectiva de  $16.8 \times 10^{-3}$  cgs y una densidad del cuerpo de  $2.4 \text{ gr/cm}^3$ , proporcionados por Flores et. al., [1977-1978] y Meta y Gonzalez [1977-1978], respectivamente.

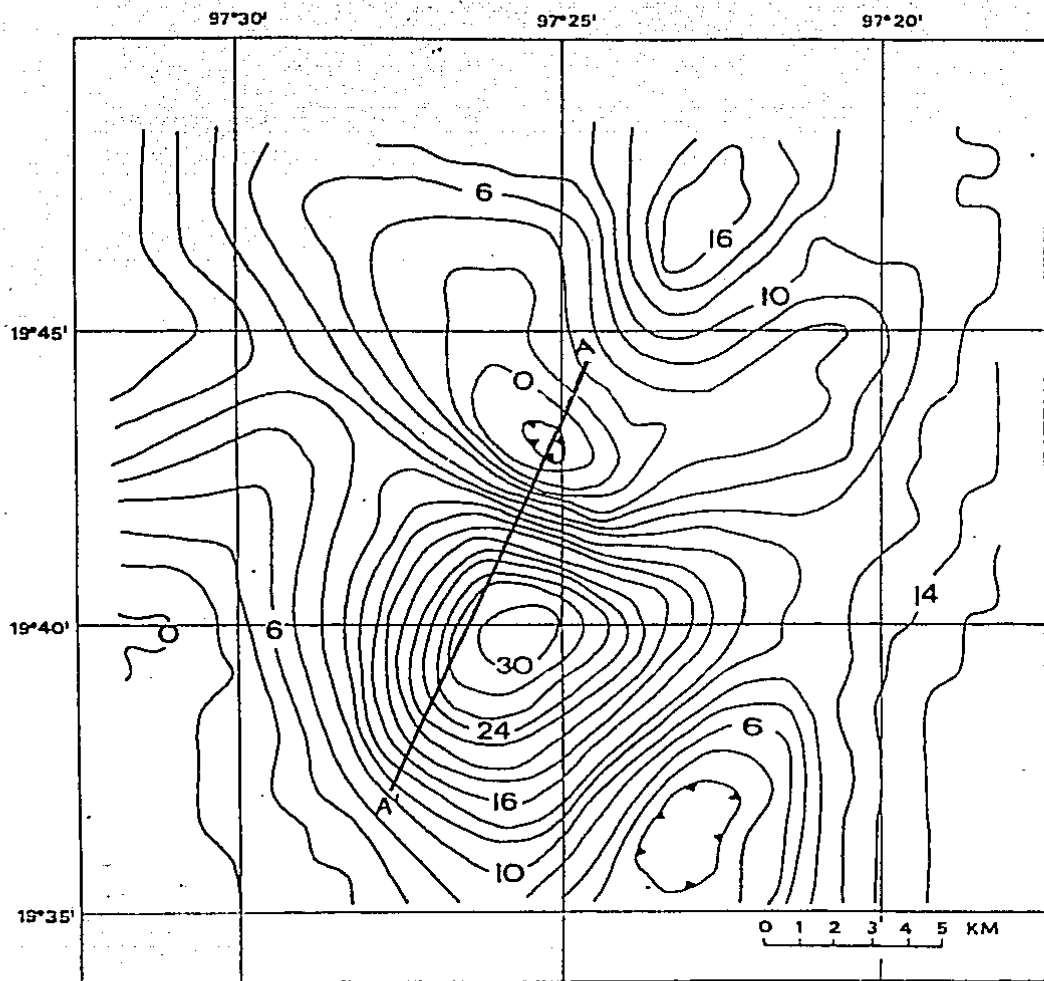


Fig. 37 Mapa de anomalía de campo total con una continuación  
ascendente de 2 Km. sobre la superficie. Valores en Gammas.

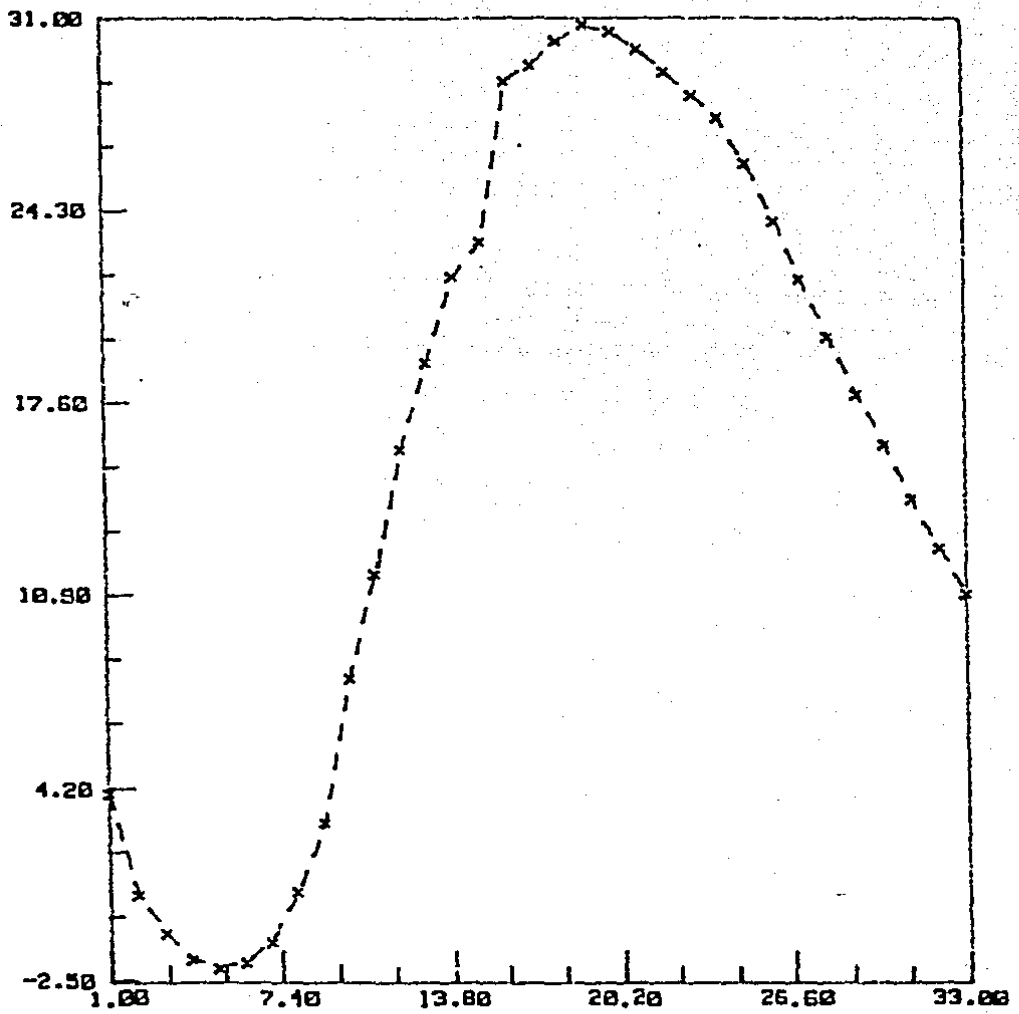


Fig.38 Perfil magnético AA'

Valores en Gauss

b) El segundo operador, figura 41, se diseña de acuerdo a los estudios realizados por Urrutia [1979], y tomando los valores de declinación e inclinación remanente e inducida en la misma dirección, para  $D_e=48^\circ$  y para  $I_n=8^\circ$ . La pseudoanomalía magnética de campo total, figura 42, se calculó con una magnetización de  $0.735 \times 10^{-3}$  cgs y una densidad del cuerpo de  $2.4 \text{ gr/cm}^3$ . En los dos casos el valor del campo inducido terrestre se tomó igual 43500 gammas.

#### 4.1.6. INTERPRETACION

El estudio paleomagnético realizado por Urrutia [1979] nos muestra las características magnéticas de los cuerpos en las áreas estudiadas, las cuales difieren considerablemente de los utilizados por Florez et. al., [1977-1978] para el cálculo de la anomalía en consideración.

La aplicación de los datos paleomagnéticos en el cálculo de la pseudoanomalía magnética de campo total, junto con las características consideradas por Mena y Gonzalez [1977-1978], nos define una estructura de baja densidad, de aproximadamente 1.25 km. de ancho y con una profundidad de 500 metros.

De esta forma se confirma el análisis hecho por Gonzalez et.al., [1982] donde también se caracteriza la anomalía bipolar discutida.

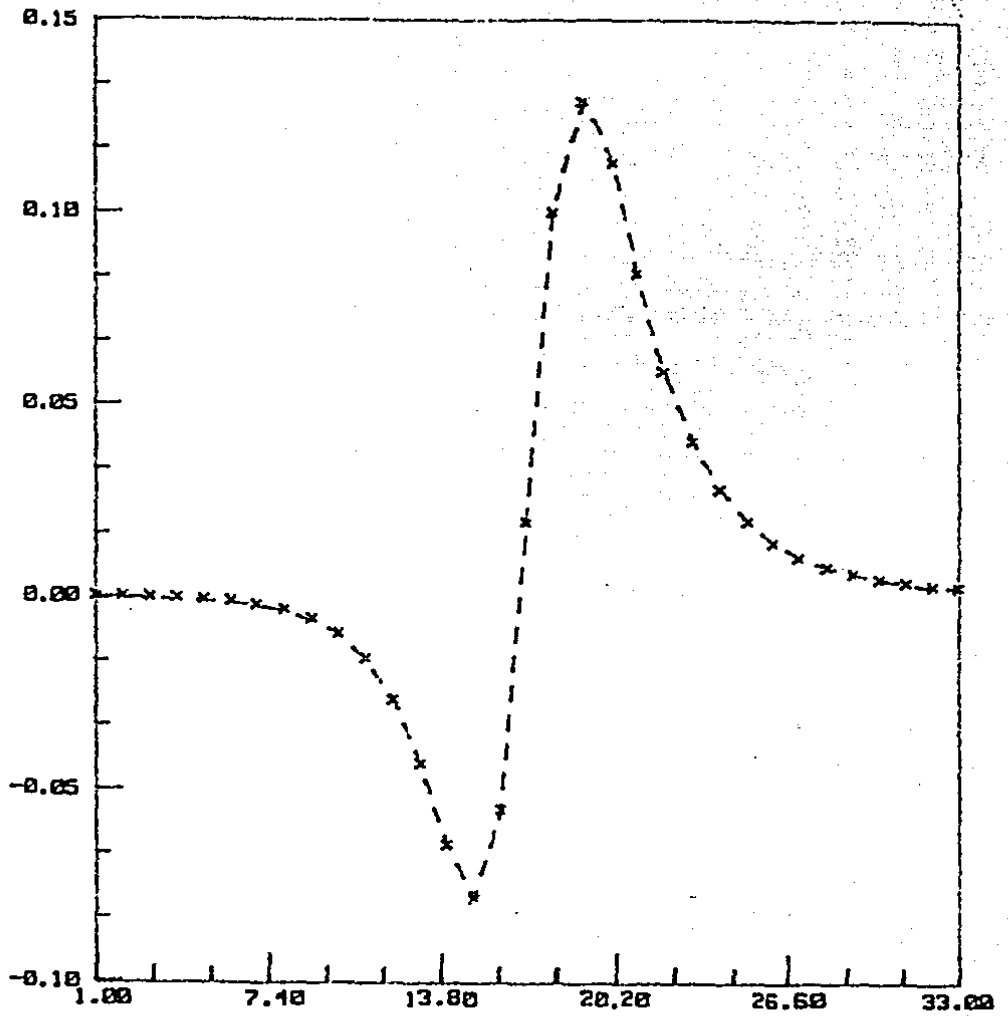


Fig.39 Operador (a). 33 puntos

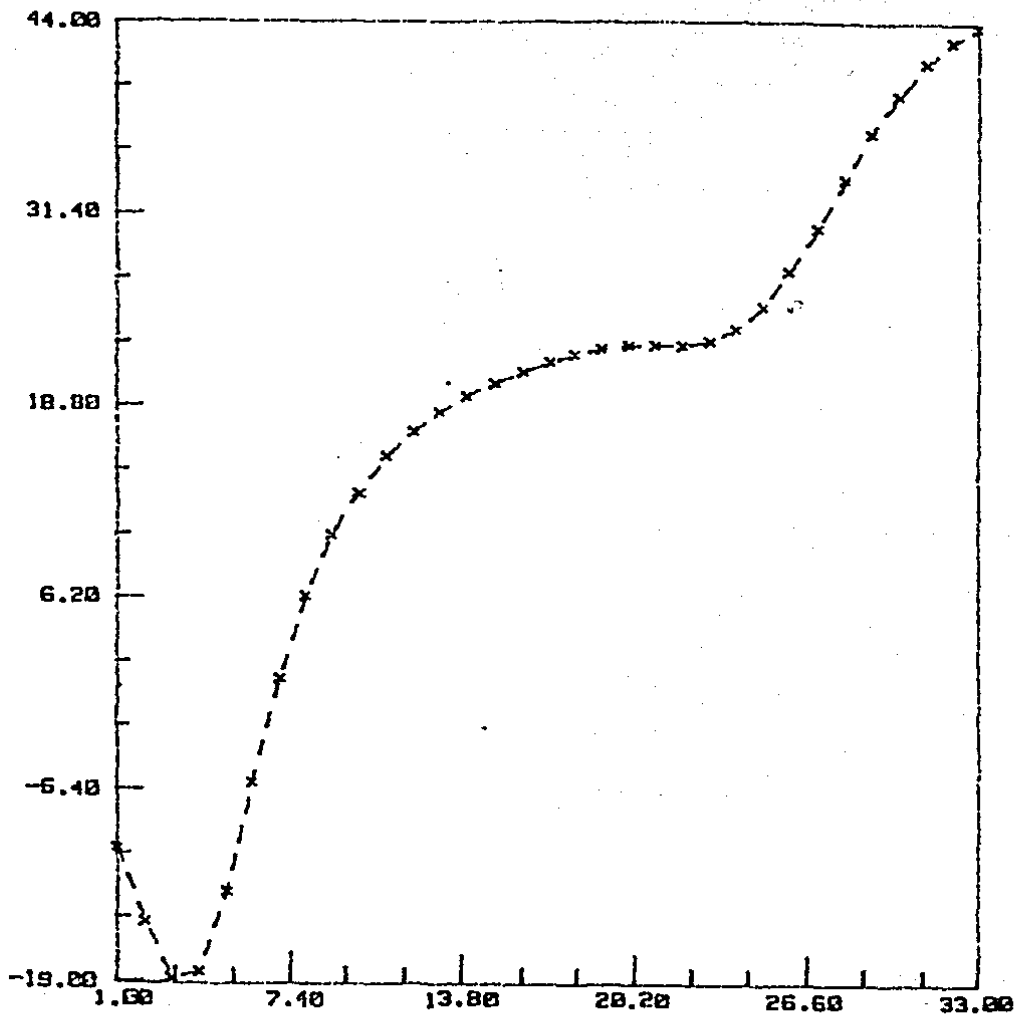


Fig.40 Pseudoanomalía (a). Valores en Gammas

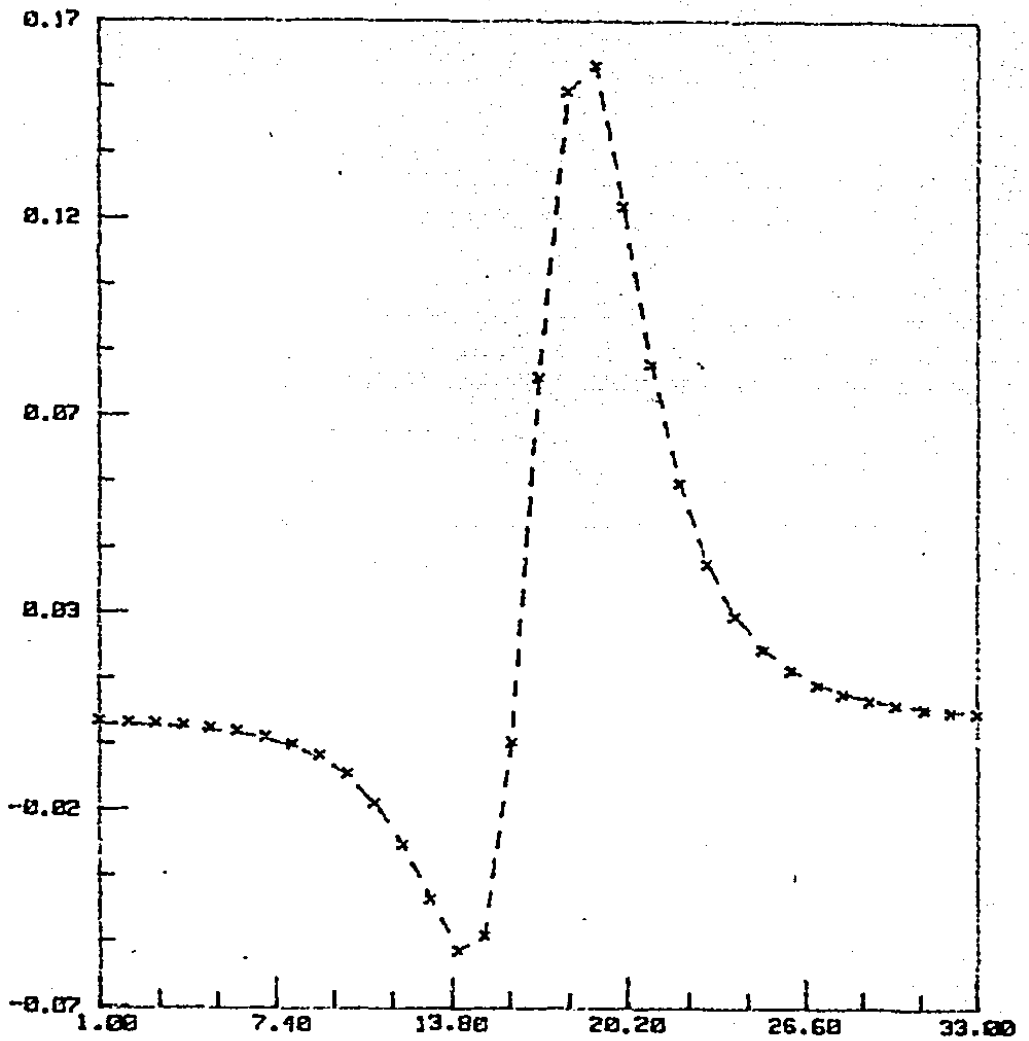


Fig.41 Operador (b). 33 puntos

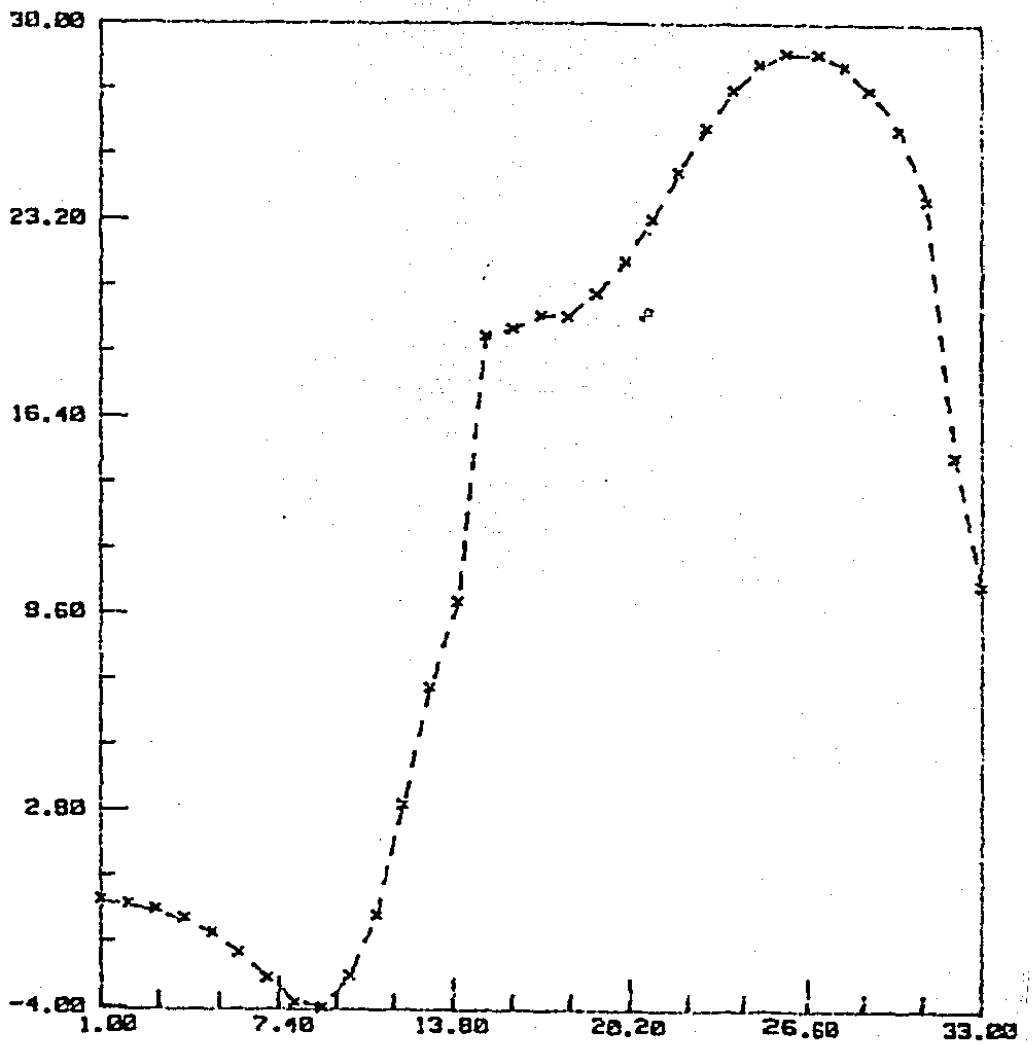


Fig.42 Pseudoanomalía (b). Valores en Gauss



## CONCLUSIONES

La posibilidad teórica de calcular la pseudoanomalía magnética de campo total a partir del campo gravimétrico se demuestra en la ecuación 2.3.9. El operador obtenido se atenúa suavemente, de forma tal que el operador es más efectivo cuando la anomalía gravimétrica se atenúa suavemente.

Para una longitud del operador equivalente a la mitad o mayor de la anomalía gravimétrica y para un retraso mínimo en la fase del operador, determinado por el ángulo de inclinación del campo, los resultados obtenidos son de gran aproximación. Una distorsión significativa se obtiene cuando la anomalía gravimétrica se extiende en tamaño mucho mayor que el operador como se muestra en la figura 43. Igualmente cuanto más completa sea la anomalía gravimétrica y el operador, se disminuye el error final. En la tabla 2 se puede ver cómo al aumentar de 32 a 64 las longitudes de la anomalía gravimétrica y del operador, se reduce el error cuadrático medio (RMS).

Por otro lado se pudo comprobar cómo la aplicación del operador en el dominio del espacio es más efectiva, que el mismo proceso en el dominio de las frecuencias. Sin embargo el análisis de los datos a través de la transformada de Fourier nos proporciona mayor información del problema en consideración.

Es importante recalcar que la documentación geológica del problema en la interpretación fue fundamental en la aplicación del caso real, en La Caldera de los Humeros.

Como elemento auxiliar en la interpretación de campos potenciales el método puede ser aplicado, teniendo siempre en cuenta que la misma estructura o cuerpo es responsable de ambas anomalías, la gravimétrica y la magnética.

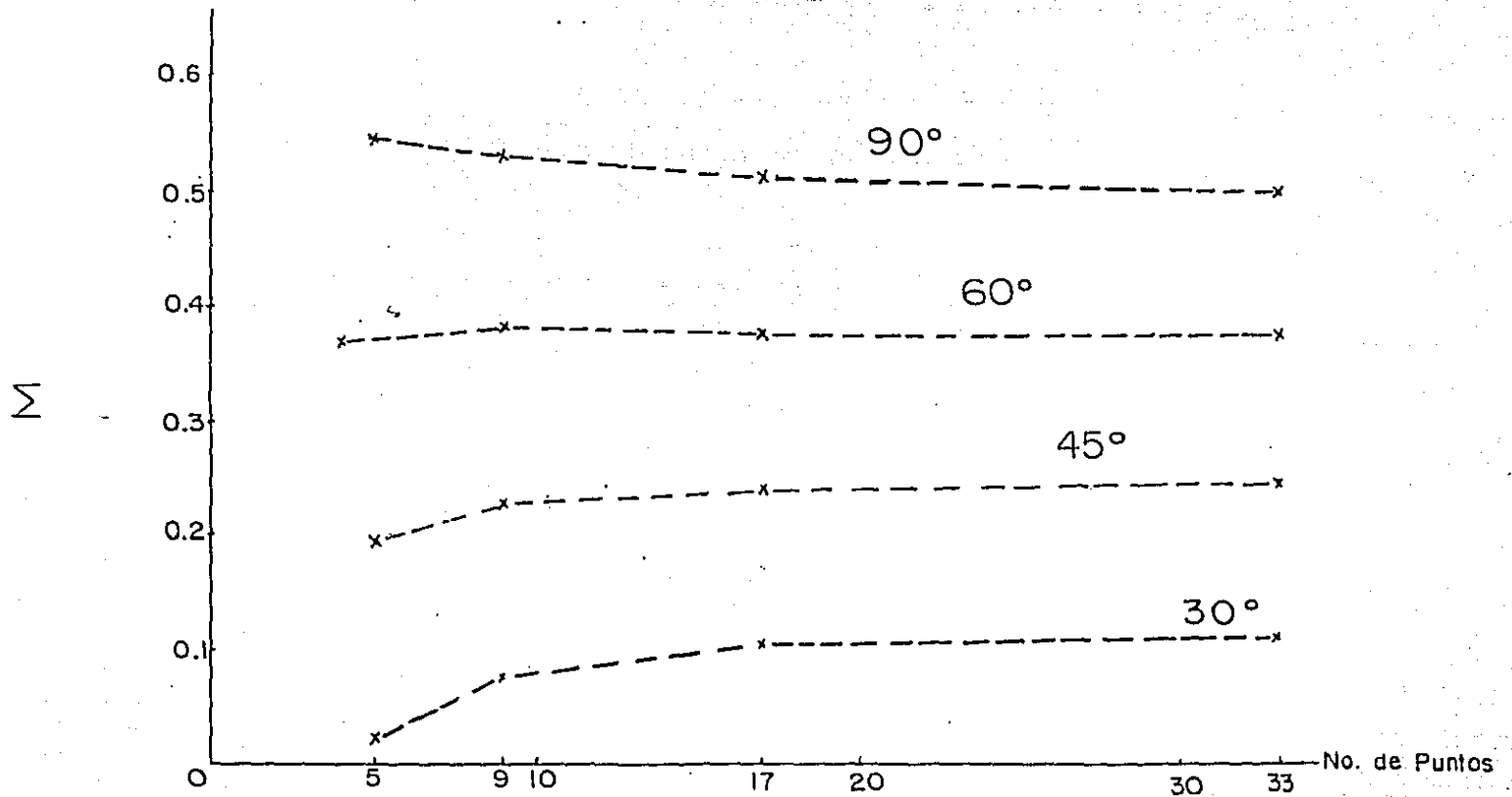
TABLA 2

No. de Puntos

	32	64
90°	0.554	0.413
45°	0.718	0.515
30°	1.471	1.042

A  
N  
G  
U  
L  
O

FIG. 43  $\Sigma$  DEL OPERADOR vs. No. DE PUNTOS



Se presenta el desarrollo matemático del operador para un caso general donde se consideran diferentes las direcciones de remanencia e inducción.

De la ec. (2.3.9) tenemos que:

$$T(r) = \frac{j}{2\pi G\rho} \int_{-\infty}^{+\infty} \int \Delta g(x', y', 0) \frac{\partial^2 (1/R)}{\partial t_0^2} dx' dy'$$

Considerando  $t_0$  diferente de  $z$  y sobre los planos  $x$ - $y$ - $z$  se tiene que las derivadas con respecto a las direcciones serán:

$$\frac{\partial}{\partial t_0} = \cos(In)\cos(de) \frac{\partial}{\partial x} + \cos(In)\sin(de) \frac{\partial}{\partial y} + \sin(In) \frac{\partial}{\partial z}$$

$$\frac{\partial}{\partial t_0} = \frac{\partial}{\partial t_0} \left[ \frac{1}{[(x-x')^2 + (y-y')^2 + (z-z')^2]^{1/2}} \right]$$

$$= \frac{\partial}{\partial x} \left[ \frac{\cos(In)\cos(de)}{R} \right] + \frac{\partial}{\partial y} \left[ \frac{\cos(In)\sin(de)}{R} \right] + \frac{\partial}{\partial z} \left[ \frac{\sin(In)}{R} \right]$$

$$= \cos(In)\cos(de) \frac{-(x-x')}{R^3} - \cos(In)\sin(de) \frac{(y-y')}{R^3} - \sin(In) \frac{(z-z')}{R^3}$$

$$\frac{\partial}{\partial x} \left[ \frac{-(x-x')\cos(In)\cos(de)}{R^3} - \frac{(y-y')\cos(In)\sin(de)}{R^3} - \frac{(z-z')\sin(In)}{R^3} \right]$$

$$= \cos(\theta)\cos(\alpha) \frac{\partial}{\partial x} \left[ \frac{-(x-x')\cos(\text{In})\cos(\text{De})}{R^3} - \frac{(y-y')\cos(\text{In})\text{sen}(\text{De})}{R^3} - \frac{(z-z')\text{sen}(\text{In})}{R^3} \right]$$

$$+ \cos(\theta)\text{sen}(\alpha) \frac{\partial}{\partial y} \left[ \frac{-(x-x')\cos(\text{In})\text{sen}(\text{De})}{R^3} - \frac{(y-y')\cos(\text{In})\text{sen}(\text{De})}{R^3} - \frac{(z-z')\text{sen}(\text{In})}{R^3} \right]$$

$$+ \text{sen}(\theta) \frac{\partial}{\partial z} \left[ \frac{-(x-x')\cos(\text{In})\cos(\text{De})}{R^3} - \frac{(y-y')\cos(\text{In})\text{sen}(\text{De})}{R^3} - \frac{(z-z')\text{sen}(\text{In})}{R^3} \right]$$

$$= -\cos(\text{In})\cos(\text{De})\cos(\theta)\cos(\alpha) \frac{\partial}{\partial x} \frac{(x-x')}{R^3}$$

$$-\cos(\text{In})\text{sen}(\text{De})\cos(\theta)\text{sen}(\alpha) \frac{\partial}{\partial x} \frac{(y-y')}{R^3} - \text{sen}(\text{In})\cos(\theta)\cos(\alpha) \frac{\partial}{\partial x} \frac{(z-z')}{R^3}$$

$$- \cos(\text{In})\cos(\text{De})\cos(\theta)\cos(\alpha) \frac{\partial}{\partial y} \frac{(x-x')}{R^3}$$

$$-\cos(\text{In})\text{sen}(\text{De})\cos(\theta)\text{sen}(\alpha) \frac{\partial}{\partial y} \frac{(y-y')}{R^3} - \text{sen}(\text{In})\cos(\theta)\cos(\alpha) \frac{\partial}{\partial y} \frac{(z-z')}{R^3}$$

$$- \cos(\ln) \cos(\text{De}) \cos(\vartheta) \cos(\sigma) \frac{\partial}{\partial z} \frac{(x-x')}{R^3}$$

$$- \cos(\ln) \sin(\text{De}) \cos(\vartheta) \sin(\sigma) \frac{\partial}{\partial z} \frac{(y-y')}{R^3} - \sin(\ln) \cos(\vartheta) \cos(\sigma) \frac{\partial}{\partial z} \frac{(z-z')}{R^3}$$

Desarrollando las derivadas se tiene que la doble derivada con respecto a la direccin será:

$$\begin{aligned} \frac{\partial^2}{\partial t \partial z} \left[ \frac{1}{R} \right] &= \cos(\ln) \cos(\text{De}) \cos(\vartheta) \cos(\sigma) \frac{R^3 - 3(x-x')^2 R}{R^6} \\ &+ \cos(\ln) \sin(\text{De}) \cos(\vartheta) \sin(\sigma) \frac{3(y-y')(x-x')}{R^5} \\ &+ \sin(\ln) \cos(\vartheta) \cos(\sigma) \frac{3(x-x')(z-z')}{R^5} \\ &+ \cos(\ln) \cos(\text{De}) \cos(\vartheta) \sin(\sigma) \frac{3(x-x')(y-y')}{R^5} \\ &- \cos(\ln) \sin(\text{De}) \cos(\vartheta) \sin(\sigma) \frac{R^3 - 3(y-y')^2 R}{R^6} \\ &+ \sin(\ln) \cos(\vartheta) \cos(\sigma) \frac{3(y-y')(z-z')}{R^5} \end{aligned}$$

$$\begin{aligned}
& + \cos(\text{In}) \cos(\text{De}) \sin(\theta) \frac{3(x-x')(z-z')}{R^5} \\
& + \cos(\text{In}) \sin(\text{De}) \sin(\theta) \frac{3(y-y')(z-z')}{R^5} \\
& - \sin(\text{In}) \sin(\theta) \frac{R^3 - 3(z-z')^2 R}{R^6}
\end{aligned}$$

y desarrollando los términos se obtiene que:

$$\begin{aligned}
\frac{\partial^2}{\partial t^2 \partial r} \left( \frac{1}{R} \right) &= - \left[ \frac{1}{R^3} \right] \cos(\text{In}) \cos(\text{De}) \cos(\theta) \cos(\phi) \\
& + \frac{3(x-x')}{R^5} \cos(\text{In}) \cos(\text{De}) \cos(\theta) \cos(\phi) \\
& + \frac{3(x-x')(y-y')}{R^5} \cos(\text{In}) \sin(\text{De}) \cos(\theta) \sin(\phi) \\
& + \frac{3(x-x')(z-z')}{R^5} \sin(\text{In}) \cos(\theta) \cos(\phi) \\
& - \left[ \frac{1}{R^3} \right] \cos(\text{In}) \sin(\text{De}) \cos(\theta) \sin(\phi) \\
& + \frac{3(x-x')(y-y')}{R^5} \cos(\text{In}) \cos(\text{De}) \cos(\theta) \sin(\phi) \\
& + \frac{3(y-y')^2}{R^5} \cos(\text{In}) \sin(\text{De}) \cos(\theta) \sin(\phi)
\end{aligned}$$

$$\begin{aligned}
& + \frac{3(y-y')(z-z')}{R^5} \operatorname{sen}(ln) \cos(\theta) \operatorname{sen}(\sigma) - \left[ \frac{1}{R^3} \right] \operatorname{sen}(ln) \operatorname{sen}(\theta) \\
& + \frac{3(x-x')(z-z')}{R^5} \cos(ln) \cos(De) \operatorname{sen}(\theta) \\
& + \frac{3(y-y')(z-z')}{R^5} \cos(ln) \operatorname{sen}(De) \operatorname{sen}(\theta) + \frac{3(z-z')^2}{R^5} \operatorname{sen}(ln) \operatorname{sen}(\theta)
\end{aligned}$$

reagrupando términos:

$$\frac{\partial^2}{\partial t_o \partial \zeta} \left[ \frac{1}{R} \right] =$$

$$\begin{aligned}
& \frac{3}{R^5} \left[ (x-x')(y-y') \left\{ \cos(ln) \operatorname{sen}(De) \cos(\theta) \operatorname{sen}(\sigma) + \cos(ln) \cos(De) \cos(\theta) \operatorname{sen}(\sigma) \right\} \right. \\
& + (x-x')(z-z') \left\{ \operatorname{sen}(ln) \cos(\theta) \cos(\sigma) + \cos(ln) \cos(De) \operatorname{sen}(\theta) \right\} \\
& + (y-y')(z-z') \left\{ \operatorname{sen}(ln) \cos(\theta) \operatorname{sen}(\sigma) + \cos(ln) \operatorname{sen}(De) \operatorname{sen}(\theta) \right\} \\
& + (x-x')^2 \left\{ \cos(ln) \cos(De) \cos(\theta) \cos(\sigma) \right\} \\
& \left. + (y-y')^2 \left\{ \cos(ln) \operatorname{sen}(De) \cos(\theta) \operatorname{sen}(\sigma) \right\} + (z-z')^2 \operatorname{sen}(ln) \operatorname{sen}(\theta) \right]
\end{aligned}$$



y finalmente:

$$\begin{aligned}
 \frac{\partial^2}{\partial t^2} \left[ \frac{1}{R} \right] &= \frac{3}{R^5} \left[ (x-x')(y-y') \cos(\text{In}) \cos(\theta) \sin(\sigma) \left\{ \sin(\text{De}) + \cos(\text{De}) \right\} \right. \\
 &+ (x-x')(z-z') \left\{ \sin(\text{In}) \cos(\theta) \cos(\sigma) + \cos(\text{In}) \cos(\text{De}) \sin(\theta) \right\} \\
 &+ (y-y')(z-z') \left\{ \sin(\text{In}) \cos(\theta) \cos(\sigma) + \cos(\text{In}) \cos(\text{De}) \sin(\theta) \right\} \\
 &+ (x-x')^2 \cos(\text{In}) \cos(\text{De}) \cos(\theta) \cos(\sigma) + (z-z')^2 \sin(\text{De}) \sin(\theta) \\
 &\left. + (y-y')^2 \cos(\text{In}) \sin(\text{De}) \cos(\theta) \sin(\sigma) \right] \\
 &\frac{1}{R^3} \left[ \cos(\text{In}) \cos(\text{De}) \cos(\theta) \cos(\sigma) + \cos(\text{In}) \sin(\text{De}) \cos(\theta) \sin(\sigma) + \sin(\text{In}) \sin(\theta) \right]
 \end{aligned}$$

## BIBLIOGRAFIA

- Baranov, V., 1957, A new method for interpretation of aeromagnetic maps: Pseudo - gravimetric anomalies, *Geophysics*, V.22, p.359-383.
- Baranov, W., 1975, Potential fields and their transformations in applied Geophysics, Gebrüder borntraeger, Berlin, Stuttgart.
- Bhattacharyya, B.K., 1955, Two-Dimensional harmonic analysis as a tool for magnetic interpretation, *Geophysics*, V.30, p.829-857.
- Bhattacharyya, B.K. and Lei-Kuang Leu, 1975, Spectral Analysis of gravity and magnetic interpretation, *Geophysics*, V.40, p.993-1013.
- Blakely, R.J. and Simpson R.W., 1986, Approximating edges of source bodies from magnetic or gravity anomalies, *Geophysics*, V.51, p.1494-1498 (short note).
- Bott, M.H.P., Smith, R.A., and Stacey, R.A., 1966, Estimation of the direction of magnetization of a body causing a magnetic anomaly using a pseudogravity transformation, *Geophysics*, V.31, p.803-811.
- Cordell, L. and Grauch, V.J.S., 1982, Mapping basement magnetization zones from aeromagnetic data in the San Juan Basin; New Mexico. Presented at the 52nd Ann. Internat. Mtg., Soc. Explor. Geophys., Dallas, abstract and biographies, 246-247.

- 1985, Mapping basement magnetization zones from aeromagnetic data in the San Juan Basin, New Mexico, in Hinze, W.J., Ed., The utility of regional gravity and magnetic anomaly maps: Soc. Expl. Geophys., 181-197.
- Cordell, L. and Taylor, P.T., 1971, Investigation of magnetization and density of a North Atlantic Seamount using Poisson's theorem, Geophysics, V. 36, p. 919-937.
- Chandler, V.W., Koski, J.S., Hinze, W.J. and Braile, L.W., 1981, Analysis of multisource gravity and magnetic anomaly data sets by moving-window application of Poisson's theorem, Geophysics, V. 46, p. 30-39
- Davis, J.C., 1973, Statistics and data analysis in Geology, New York, John Wiley and Sons, Inc.
- Florez-Luna, C., Alvarez, R., Singh, S.K., and Urrutia, J., 1977-78, Aeromagnetic survey of Los Hornos Caldera, Mexico, Geof. Intern., 17, 4, 430-445.
- Garland, G.D., 1951, Combined analysis of gravity and magnetic anomalies, Geophysics, V. 16, p. 51-62.
- Gonzalez-Moran, T. y Suro-Perez, V., 1982, Obtencion de parametros fisicos de las estructuras principales localizadas en la Caldera de los Hornos, Mexico, Geof. Intern., 17, 4, 430-445.
- Grant, F.S., and West, G.F., 1965, Interpretation theory in applied Geophysics, New York, McGraw-Hill Book Co.
- Instituto Mexicano del Petroleo, Septiembre 21-24 1976, Gravity and magnetic exploration handout material.

- Kanasewich, E.R., and Agarwal, R.G., 1970, Analysis of combined gravity and magnetic fields in wave number domain. Journal of Geophysical Research, V.75, p.5702-5712.
- Mena, M. and Gonzalez -Moran, T., 1977-78, Regional gravity of Los Humeros Caldera Volcanic Area. Geof. Intern., 17, 4, 416-429.
- Mesko, A. Dsc., 1984, Digital Filtering Applications in Geophysics Exploration for Oil, Budapest, Pitman Publishing Inc.
- Mironov, V.S., 1977, Curso de prospeccion gravimetrica, España, Editorial Reverte, S.A.
- Nettleton, L.L. and Elkins, T.A., 1944, Association of magnetic and density contrasts with igneous rock classifications, Geophysics, V.9, p.60-78.
- Parker, R.L., 1977, Understanding inverse theory, Annual reviews of Earth planetary Sciences 5, 35-64.
- Proyecto Geotermico Los Humeros-Derrumbadas, 1981, Informe Geofisico, Comision Federal de Electricidad.
- Robinson, E.S., 1971, The use of Poisson's relation for the extraction of Pseudototal magnetic field intensity from gravity observations, Geophysics, V.22, p.605-608. (short notes)
- Shuey, R.T., 1972, Application of Hilbert transforms to magnetic profiles, Geophysics, V.37, p.1043-1045.
- Skeels, D.C. and Watson, R.J., 1947, Derivation of magnetic and gravitational quantities by surface integration, Geophysics, V.14, p.133-150.

- Talwani, M., 1965. Computation with the help of a digital computer of magnetic anomalies caused by bodies of arbitrary shape. *Geophysics*, V. 25, p. 203-225.
- Thelfor, D.W.M., Geldart, L.P., Sheriff, R.E., Keys, D.A., 1976. *Applied Geophysics*, New York, Cambridge University Press.
- Urrutia, J., 1979. Reconnaissance paleomagnetic survey of a late cenozoic caldera of the Mexican volcanic belt, 4th Latin American Geological Congress, Trinidad y Tobago, V. 1, p. 1-15.
- Vacquier V. and Afieck J., A computation of the average depth to the bottom of the earth's magnetic crust, based on a statistical study of local magnetic anomalies. *Transactions of 1941 of the American Geophysical Union*, p. 446-450.
- Yfantis, E.A., 1981. Fast Fourier Transform 2-3-5, *Computer and Geosciences*, V. 7, p. 99-108.